本地PubMed检索平台使用说明及诺模图
科研数据分析平台简介

贾新志
上海骥灏网络股份有限公司
jiawork8848@163.com

下载本课件



文献资源->数据库->外文数据库

文献资源

- 馆藏资源
  - 数据库
    - 中文数据库
    - 外文数据库
  - 电子图书
  - 期刊
  - 多媒体资源
- 特色资源
- 试用数据库
- 开放资源
- 指南查询与循证传递

外文数据库

当前位置：网站首页 · 文献资源 · 馆藏资源 · 数据库 · 外文数据库

资源名称	检索数据库类型
Web of Science核心合集	引文
InCites	分析工具
Journal Citation Reports(JCR)	期刊引证报告
Essential Science Indicators (ESI)	基本科学指标
IncoPat全球专利数据库	专利
DII德温特专利数据库	专利
爱思唯尔ScienceDirect数据库	全文
CINAHL护理学数据库	全文
本地PubMed检索系统	全文
Springer Protocols	全文
Cochrane Library循证医学数据库	综述
worldlib国际文献整合平台	全文

本地PubMed引文及数据库分析数据库

本地PubMed检索平台及诺模图科研数据分析平台简介

前言：本地PubMed的由来及特色

本地PubMed简介

PubMed\Medline由美国国立医学图书馆（NLM）、国际MEDLARS成员（中国为第16个成员国）及合作的专业组织共同研制开发，是目前国际上公认的检索生物医学文献最具权威、利用率最高、影响最广的数据库，也是我国卫生部认定的科技查新必须检索的国外医学数据库、科技部认定的国际五大权威数据库之一。

本地PubMed检索系统是华中科技大学与济南泉方合作开发的本地化数据库产品，本系统是在PubMed的基础上结合SCI以及谷歌学术搜索开发而成。在检索结果界面，与美国官网PubMed相比，具有以下相同特点：

继承PubMed官网的检索策略

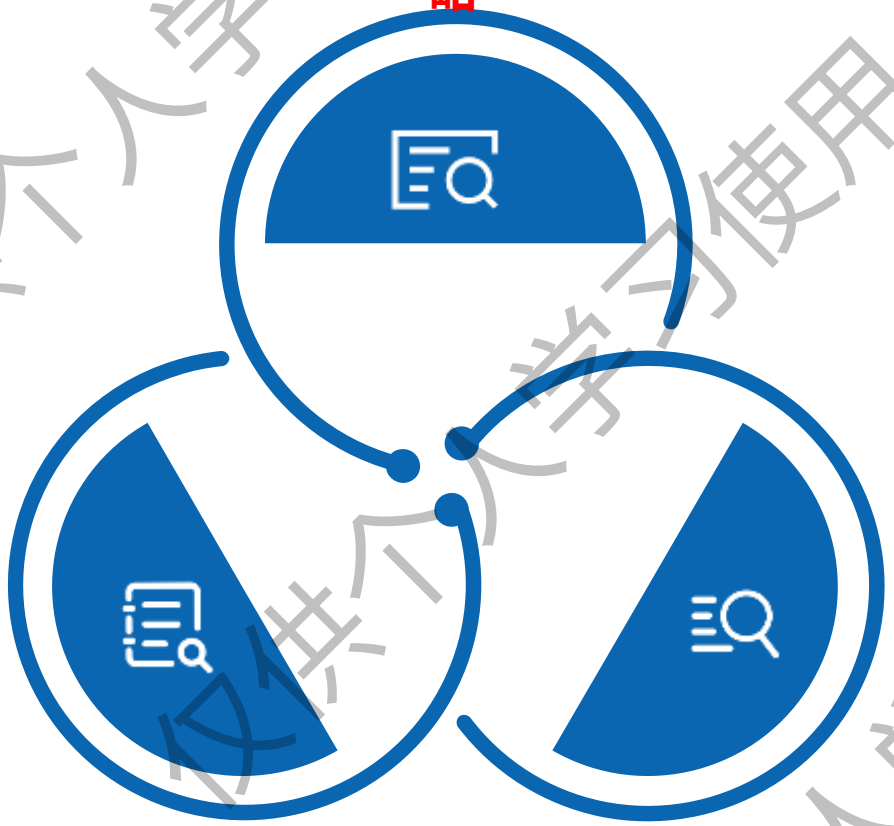

检索界面及功能按钮基本一致

检索结果完全相同

本地PubMed检索平台及诺模图科研数据分析平台简介

一、基本的文献检索，图片检索、扩展检索


本地PubMed引文及数据分析平台
中英切换
图片检索
扩展检索
显示模式
文本
图片
二维
四维
数据分析
与官网基本一致的限定项
添加的过滤项
本地PubMed使用的是CiteScore的影响因子，需要使用SCI的IF请自行寻找浏览器插件。
引用次数来自泉方自己的计算，不是权威的SCI数据，仅供参考。
申请全文来自sci-hub镜像，全文保障率可达到95%以上，不要此功能的，可以取消。
仅供个人学习使用

pm.yuntsg.com/searchList.html

欢迎你 贾新志 来自 新乡医学院

个人中心 | 修改密码 | 退出登录 | 中 | EN

首页 | 云图书馆 | 东方学术 | 外文电子图书 | 循证医学 | 指南指南 | MESH检索

使用指南

点击进一步扩展检索

新乡医学院
本地PubMed检索平台

All Fields | 35658905,35658905,35658905,35658905,35658905,35658905,33537847,3353784 | 检索 | 二次检索 | 高级检索

检索的图片

图片相似度 60 % 温馨提示:图片相似度请填写50-100之间的整数

点击上传，或将文件拖拽到此处

图片检索，图片相似度一般设为60-90之间

切换为图片的模式显示

T

etm-23-05-11250-g00.jpg

etm-23-05-11250-g01.jpg

etm-23-05-11250-g02.jpg

etm-23-05-11250-g03.jpg

JOCR-11-45-g001.jpg

JOCR-11-45-g002.jpg

JOCR-11-45-g003.jpg

JOCR-11-92-g001.jpg

此为检索结果中，全文中的图片

JOCR-11-92-g002.jpg

JOCR-11-92-g003.jpg

JOCR-11-92-g004.jpg

JOCR-11-92-g005.jpg

pmyuntsg.com/extendedRetrieval.html?param=Large%20cell%20neuroendocrine%20lung%20carcinoma

欢迎您 贾新志 来自 泉方教育

个人中心 | 修改密码 | 退出登录 | 中 EN

首页 | 云图书馆 | 泉方学术 | 泉方专利 | 循证医学 | 投稿指南 | MESH检索

使用指南

扩展检索，结果包含中文、外文以及博硕论文等，另外，还可以进一步检索泉方专利。

扩展检索 博硕论文

检索词"Large cell neuroendocrine lung carcinoma"

中 EN

我们为您检索到相关结果约 33 条

中、英文切换

1 interesting cases of large cell neuroendocrine lung carcinoma

中文标题: [机译][有趣的大细胞神经内分泌肺癌病例]

作者: 暂无信息

期刊: CHEST. 2021 OCT;160(4):1590A-1590A. doi: 10.1016/j.chest.2021.07.1454

年: 2021 卷: 160 期: 4 页码: 1590a 发表日期: 2021 OCT

影响因子: 0 威望指数: 2264 被引次数: 0

DOI号: 10.1016/j.chest.2021.07.1454 文献类型: Meeting Abstract

机构: 暂无机构

参考文献 引证文献

2 novel characteristic proteins of large cell neuroendocrine carcinoma of lung

中文标题: [机译]肺大细胞神经内分泌癌的新特征蛋白]

作者: ishii, hiromasa; varga, gyorgy marko; ikeda, norihiko; bando, yasuhiko; kawamura, takeshi; kihara, makoto; tsuboi, masahiro; nishimura, toshihide; fukuda, tetsuya; gazdar, adi f; nomura, masaharu; ohira, tatsuo; mikami, sayaka; kato, harubumi

期刊: CANCER RESEARCH. 2011 APR 15;71():. doi: 10.1158/1538-7445.am2011-5098

年: 2011 卷: 71 期: 未知 页码: 发表日期: 2011 APR 15

影响因子: 0 威望指数: 3.075 被引次数: 0

DOI号: 10.1158/1538-7445.am2011-5098 文献类型: Meeting Abstract

机构: univ texas sw med ctr dallas, hamon ctr therapeut canc res, dallas, tx 75390 usa; 美国-德克萨斯大学(达拉斯分校); 日本-东京医科大学; amr inc, tokyo, japan; univ tokyo, tokyo, japan; niizashiki cent gen hosp, saitama, japan; 日本-大阪大学; osaka univ, grad sch med, osaka, japan; 日本-东京大学; med proteoscope co ltd, tokyo, japan; biosys technol inc, tokyo, japan; tokyo med univ, tokyo 1608402, japan;

参考文献 引证文献

中文主要指的是被北大核心、统计源等收录的论文，英文主要指的是被中科院期刊分区表中收录的期刊的论文。

3 treatment of lung large cell neuroendocrine carcinoma

中文标题: [机译]肺大细胞神经内分泌癌的治疗]

作者: 暂无信息

期刊: Tumour Biol. 2016 Jun;37(6):7047-7057. doi: 10.1007/s13277-016-5003-4

年: 2016 卷: 37 期: 6 页码: 7047,7057 发表日期: 2016 Jun

影响因子: 0 威望指数: 0.643 被引次数: 39

DOI号: 10.1007/s13277-016-5003-4 文献类型: Article;Review

机构: 暂无机构

Lung large cell neuroendocrine carcinoma (LCNEC) is a rare, aggressive, and difficult-to-treat tumor. It is classified as a neuroendocrine subtype of large cell lung carcinoma (LCLC) belonging to the non-small cell lung cancer (NSCLC) group, but it is also included in the neuroendocrine tumor (NET) group. Most of the available data related to its treatment derive from retrospective...

参考文献 引证文献

4 a rare case of combined small-cell and large-cell neuroendocrine lung carcinoma

中文标题: [机译][1例合并小细胞和大细胞神经内分泌的罕见肺癌]

作者: 暂无信息

期刊: CHEST. 2021 OCT;160(4):1549A-1550A. doi: 10.1016/j.chest.2021.07.1416

年: 2021 卷: 160 期: 4 页码: 1549a,1550a 发表日期: 2021 OCT

参考文献 引证文献

说明：
泉方专利支持邻近算符检索、字段限定检索（标题TI、权利要求CL、摘要AB等）以及逻辑组合检索等，但并没有对机构进行规范。

Installing plug-ins - Operating instructions

1. Click the link to download:http://www.journalinfo.xyz/chrome-plugin-IF.zip

2.Unpack the plug-in package

demo.journalinfo.xyz

浏览器插件，按提示安装后，可以显示JCR的影响因子。

3.Open Google Chrome

4.Click the setting button in the upper right corner of the browser, then click "More Tools" in the pop-up box, and then click "Extension Program"

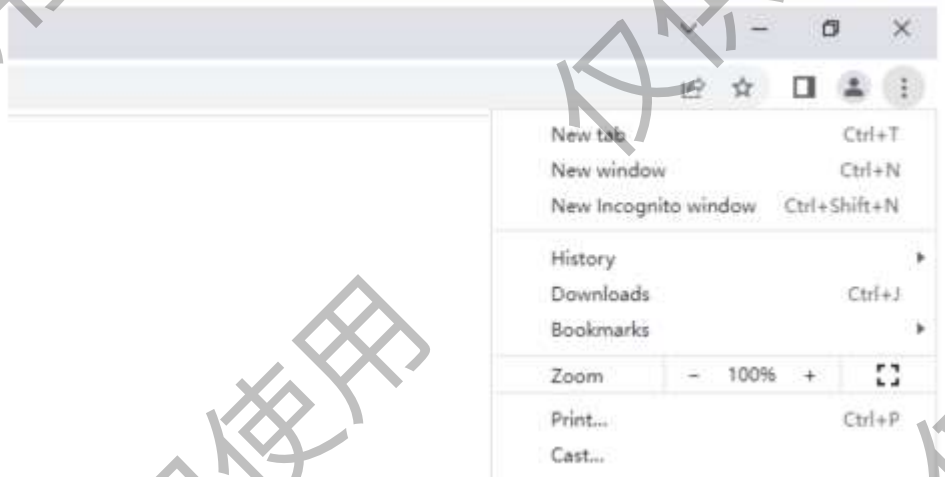

网上此类插件甚多，可自行查找。

本地PubMed检索平台及诺模图科研数据分析平台简介

二、医学主题词检索，临床查询，查找指南

MeSH

MeSH | myasthenia gravis ← 通过自由词查找主题词 | 检索

总结果数:7条

1. Myasthenia Gravis(重症肌无力)

A disorder of neuromuscular transmission characterized by fatigable weakness of cranial and skeletal muscles with elevated titers of ACETYLCHOLINE RECEPTORS or muscle-specific receptor tyrosine kinase (MuSK) autoantibodie...
一种以颅肌和骨骼肌无力为特征的神经肌肉传递障碍。定向抑制乙酰胆碱受体的自身抗体损害了神经肌肉接头的运动终板部分，对通向骨骼肌的冲动传导产生损害。临床表现可能包括复视、睑下垂及面肌、眼球肌、呼吸肌和近端肢肌的无力。这种...

2. Myasthenia Gravis, Neonatal(重症肌无力, 新生儿)

A disorder of neuromuscular transmission that occurs in a minority of newborns born to women with myasthenia gravis. Clinical features are usually present at birth or develop in the first 3 days of life and consist of hypotonia...
一种在患有重症肌无力的妇女所生的少数新生儿中发生的神经肌肉传递障碍。临床特征通常在出生时或出生后最初3天内出现，包括张力过低及受损的呼吸、吮吸和吞咽功能。这种病症与乙酰胆碱受体抗体通过胎盘被动转移相关。尽管这种疾病可...

Year introduced: 2000

3. Myasthenia Gravis, Autoimmune, Experimental(重症肌无力, 自身免疫性, 实验性)

Any autoimmune animal disease model used in the study of MYASTHENIA GRAVIS. Injection with purified neuromuscular junction acetylcholine receptor (AChR) (see RECEPTORS, CHOLINERGIC) components results in a...
任何用于研究重症肌无力的自身免疫动物疾病模型。注射纯化神经肌肉接头乙酰胆碱受体（AChR）（参见受体,胆碱能）成分能引起具有急性期和慢性期的肌无力综合征。运动终板病理学、乙酰胆碱受体缺失、出现循环的抗乙酰胆碱受体抗体和电生...

Year introduced: 2005 (2000)

4. Myasthenic Syndromes, Congenital(肌无力综合征, 先天性)

A heterogeneous group of disorders characterized by a congenital defect in neuromuscular transmission at the NEUROMUSCULAR JUNCTION. This includes presynaptic, synaptic, and postsynaptic disorders (that are not of...
一种以神经肌肉接头的神经肌肉传递先天缺陷为特征的多相疾病。包括突触前、突触和突触后疾病（非自身免疫源性）。主要由接头突触后表面上烟碱乙酰胆碱受体（受体,烟碱）的不同亚单位突变引起。（摘自《神经病学文献》，1999年2月，56卷...

Year introduced: 2000

5. Myasthenia Gravis with Thymus Hyperplasia [Supplementary Concept]()

PubMed Search Builder

Add to search builder | AND | Search PubMed

Search details

Search

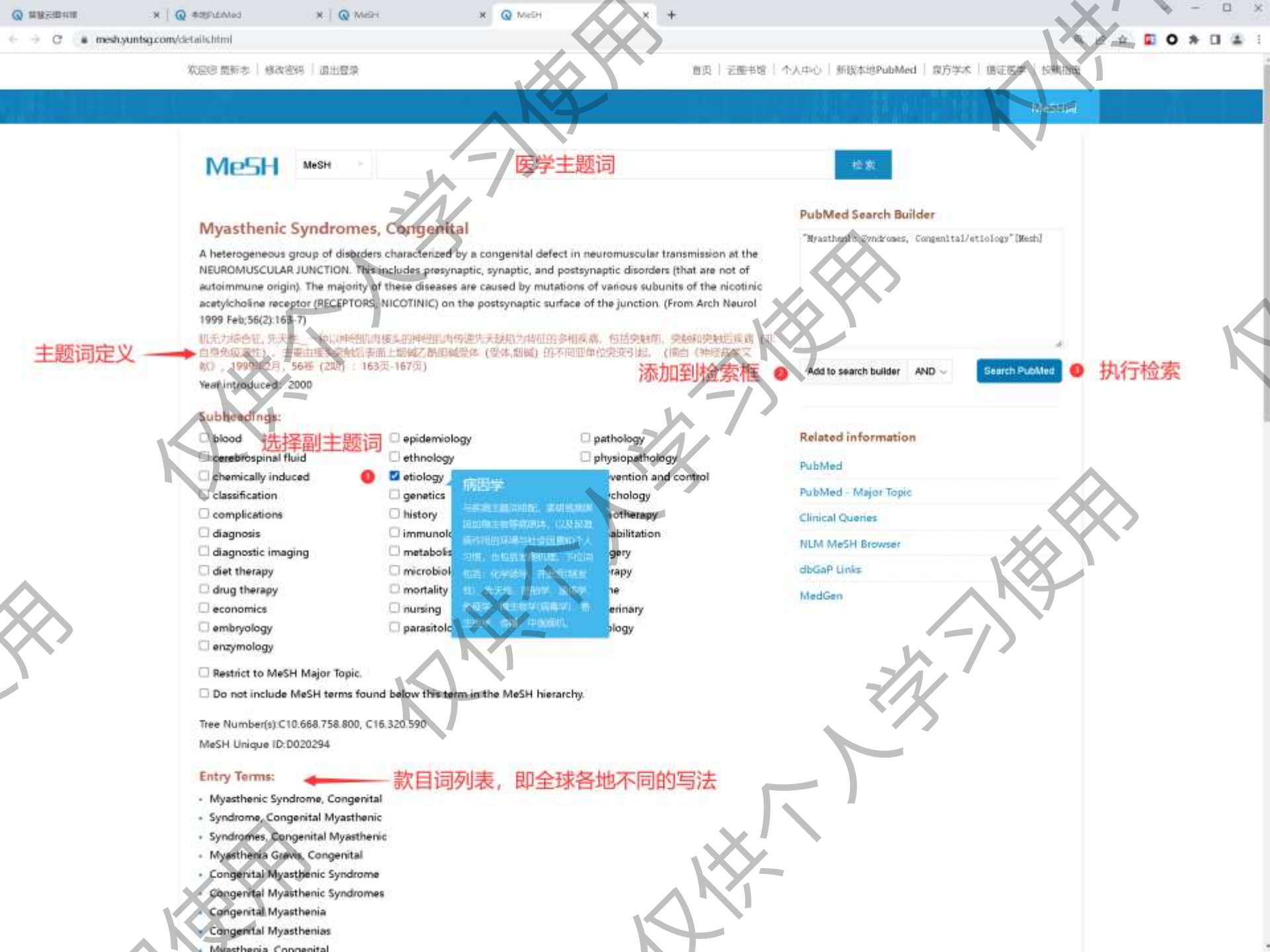
MeSH
医学主题词
检索
Myasthenic Syndromes, Congenital
A heterogeneous group of disorders characterized by a congenital defect in neuromuscular transmission at the NEUROMUSCULAR JUNCTION. This includes presynaptic, synaptic, and postsynaptic disorders (that are not of autoimmune origin). The majority of these diseases are caused by mutations of various subunits of the nicotinic acetylcholine receptor (RECEPTORS, NICOTINIC) on the postsynaptic surface of the junction. (From Arch Neurol 1999 Feb;56(2):163-7)
主题词定义
Year introduced: 2000
PubMed Search Builder
"Myasthenic Syndromes, Congenital/etiology"[Mesh]
添加到检索框
Add to search builder
AND
Search PubMed
执行检索
Subheadings:
选择副主题词
blood
cerebrospinal fluid
chemically induced
classification
complications
diagnosis
diagnostic imaging
diet therapy
drug therapy
economics
embryology
enzymology
epidemiology
ethnology
etiology
genetics
history
immunology
metabolism
microbiology
mortality
nursing
parasitology
pathology
physiopathology
prevention and control
psychology
rehabilitation
surgery
therapy
veterinary
病因学
Restrict to MeSH Major Topic.
Do not include MeSH terms found below this term in the MeSH hierarchy.
Tree Number(s):C10.668.758.800, C16.320.590
MeSH Unique ID:D020294
Entry Terms:
款目词列表，即全球各地不同的写法
Myasthenic Syndrome, Congenital
Syndrome, Congenital Myasthenic
Syndromes, Congenital Myasthenic
Myasthenia Gravis, Congenital
Congenital Myasthenic Syndrome
Congenital Myasthenic Syndromes
Congenital Myasthenia
Congenital Myasthenias
Related information
PubMed
PubMed - Major Topic
Clinical Queries
NLM MeSH Browser
dbGaP Links
MedGen

使用指南

PubMed临床查询数据库

本页的搜索结果仅限于特定的临床研究领域,为了全面搜索,请直接使用本地PubMed

输入检索词（临床或疾病相关）

Large cell neuroendocrine lung carcinoma

检索

Filter category

- Clinical Studies
- COVID-19

Filter

Therapy

- Therapy
- Clinical Prediction Guides
- Diagnosis
- Etiology
- Prognosis

Scope

Broad

要求查全，也可以要求查准。

Results for Clinical Studies: Large cell neuroendocrine lung carcinoma Therapy/Broad

治疗、临床预测指南、诊断、病因、预后等选项。

Complete remission of combined pulmonary large cell neuroendocrine carcinoma: a case report.
Xu J, et al. J Int Med Res. 2021. PMID:34738481

[Chinese expert consensus on lung and thymus neuroendocrine neoplasms].
Expert Committee on Neuroendocrine Neoplasms, Chinese Society of Clinical Oncology. Zhonghua Zhong Liu Za Zhi. 2021. PMID:34095686

Large cell neuroendocrine lung carcinoma: consensus statement from The British Thoracic Oncology Group and the Association of Pulmonary Pathologists.
Lindsay CR, et al. Br J Cancer. 2021. PMID:34489586

Survival and prognosis of lung large cell neuroendocrine carcinoma.
Jiang H, et al. Bull Cancer. 2021. PMID:34392973

Prevalence of TP-53/Rb-1 Co-Mutation in Large Cell Neuroendocrine Carcinoma.
Saghaeiannejad Esfahani H, et al. Front Oncol. 2021. PMID:34141612

See all results in PubMed(206)

查看全部文献

大细胞神经内分泌肺癌


山东第一医科大学（山东省医学科学院）
本地PubMed检索平台
All Fields
Coronary Artery Revascularization
检索
查找医学指南
RESULTS BY YEAR
TEXT AVAILABILITY
Abstract
Free full text
Full text
ARTICLE ATTRIBUTE
Associated data
ARTICLE TYPE
Books and Documents
Clinical Trial
Meta-Analysis
Randomized Controlled Trial
Review
Systematic Reviews
PUBLICATION DATE
1 year
5 years
10 years
Additional filters
添加过滤器
为文献类型限定添加限定选项。
显示模式: Summary Abstract
数据分析
CiteScore
信息
ARTICLE TYPE
SPECIES
LANGUAGE
SEX
SUBJECT
JOURNAL
AGE
Conference, NIH
Corrected and Republished Article
Dataset
Dictionary
Directory
Duplicate Publication
Editorial
Electronic Supplementary Materials
English Abstract
Evaluation Studies
Festschrift
Government Document
Guideline
添加指南选项
Historical Article
Interactive Tutorial
Interview
Introductory Journal Article
Journal Article
Lecture
Legal Case
点击确定
确认
取消
检索结果的期刊过滤

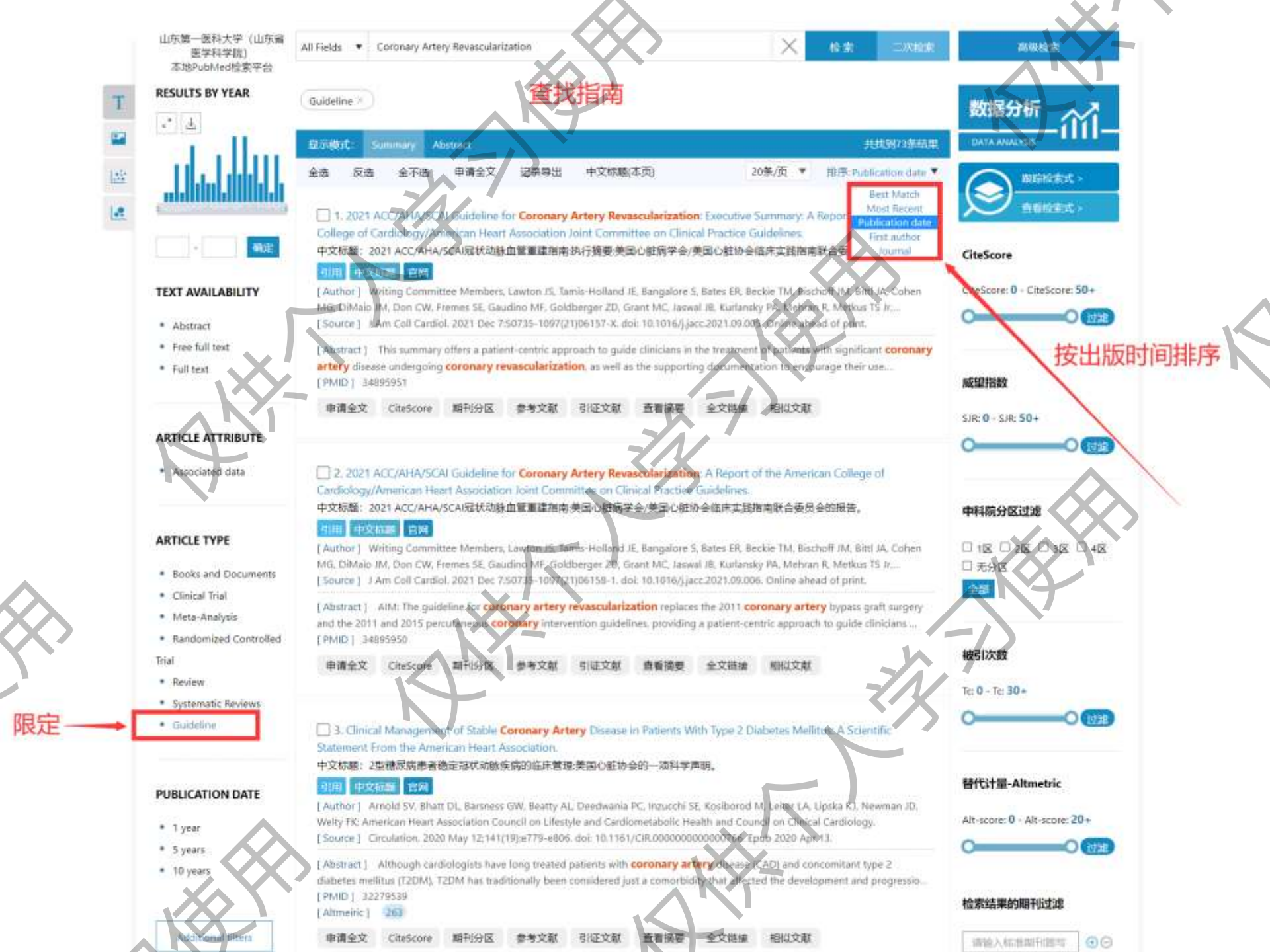
山东第一医科大学（山东省医学科学院）
本地PubMed检索平台
All Fields
Coronary Artery Revascularization
检索
二次检索
高级检索
查找指南
RESULTS BY YEAR
Guideline
数据分析
DATA ANALYSIS
显示模式: Summary Abstract
共找到73条结果
全选 反选 全不选 申请全文 记录导出 中文标题(本页)
20条/页
排序: Publication date
Best Match
Most Recent
Publication date
First author
Journal
1. 2021 ACC/AHA/SCAI Guideline for Coronary Artery Revascularization: Executive Summary: A Report
College of Cardiology/American Heart Association Joint Committee on Clinical Practice Guidelines.
中文标题：2021 ACC/AHA/SCAI冠状动脉血管重建指南:执行摘要:美国心脏病学会/美国心脏协会临床实践指南联合委
引用 中文标题 官网
[Author] Writing Committee Members, Lawton JS, Tamis-Holland JE, Bangalore S, Bates ER, Beckie TM, Bischoff JM, Bittl JA, Cohen MG, DiMaio JM, Don CW, Fremes SE, Gaudino MF, Goldberger ZD, Grant MC, Jaswal JB, Kurlansky PA, Mehran R, Metkus TS Jr,...
[Source] J Am Coll Cardiol. 2021 Dec 7:S0735-1097(21)06157-X. doi: 10.1016/j.jacc.2021.09.006. Online ahead of print.
[Abstract] This summary offers a patient-centric approach to guide clinicians in the treatment of patients with significant coronary artery disease undergoing coronary revascularization, as well as the supporting documentation to encourage their use...
[PMID] 34895951
申请全文 CiteScore 期刊分区 参考文献 引证文献 查看摘要 全文链接 相似文献
2. 2021 ACC/AHA/SCAI Guideline for Coronary Artery Revascularization: A Report of the American College of Cardiology/American Heart Association Joint Committee on Clinical Practice Guidelines.
中文标题：2021 ACC/AHA/SCAI冠状动脉血管重建指南:美国心脏病学会/美国心脏协会临床实践指南联合委员会的报告。
引用 中文标题 官网
[Author] Writing Committee Members, Lawton JS, Tamis-Holland JE, Bangalore S, Bates ER, Beckie TM, Bischoff JM, Bittl JA, Cohen MG, DiMaio JM, Don CW, Fremes SE, Gaudino MF, Goldberger ZD, Grant MC, Jaswal JB, Kurlansky PA, Mehran R, Metkus TS Jr,...
[Source] J Am Coll Cardiol. 2021 Dec 7:S0735-1097(21)06158-1. doi: 10.1016/j.jacc.2021.09.006. Online ahead of print.
[Abstract] AIM: The guideline for coronary artery revascularization replaces the 2011 coronary artery bypass graft surgery and the 2011 and 2015 percutaneous coronary intervention guidelines, providing a patient-centric approach to guide clinicians ...
[PMID] 34895950
申请全文 CiteScore 期刊分区 参考文献 引证文献 查看摘要 全文链接 相似文献
3. Clinical Management of Stable Coronary Artery Disease in Patients With Type 2 Diabetes Mellitus: A Scientific Statement From the American Heart Association.
中文标题：2型糖尿病患者稳定冠状动脉疾病的临床管理:美国心脏协会的一项科学声明。
引用 中文标题 官网
[Author] Arnold SV, Bhatt DL, Barsness GW, Beatty AL, Deedwania PC, Inzucchi SE, Kosiborod M, Leiter LA, Lipska KJ, Newman JD, Welty FK; American Heart Association Council on Lifestyle and Cardiometabolic Health and Council on Clinical Cardiology.
[Source] Circulation. 2020 May 12;141(19):e779-e806. doi: 10.1161/CIR.0000000000000766. Epub 2020 Apr 13.
[Abstract] Although cardiologists have long treated patients with coronary artery disease (CAD) and concomitant type 2 diabetes mellitus (T2DM), T2DM has traditionally been considered just a comorbidity that affected the development and progressio...
[PMID] 32279539
[Altmetric] 263
申请全文 CiteScore 期刊分区 参考文献 引证文献 查看摘要 全文链接 相似文献
TEXT AVAILABILITY
Abstract
Free full text
Full text
ARTICLE ATTRIBUTE
Associated data
ARTICLE TYPE
Books and Documents
Clinical Trial
Meta-Analysis
Randomized Controlled Trial
Review
Systematic Reviews
Guideline
限定
PUBLICATION DATE
1 year
5 years
10 years
Additional filters
确定
CiteScore
CiteScore: 0 - CiteScore: 50+
过滤
威望指数
SJR: 0 - SJR: 50+
过滤
中科院分区过滤
1区 2区 3区 4区
无分区
全部
被引次数
Tc: 0 - Tc: 30+
过滤
替代计量-Altmetric
Alt-score: 0 - Alt-score: 20+
过滤
检索结果的期刊过滤
按出版时间排序

本地PubMed检索平台及诺模图科研数据分析平台简介

三、个人文献中心及其它特色功能

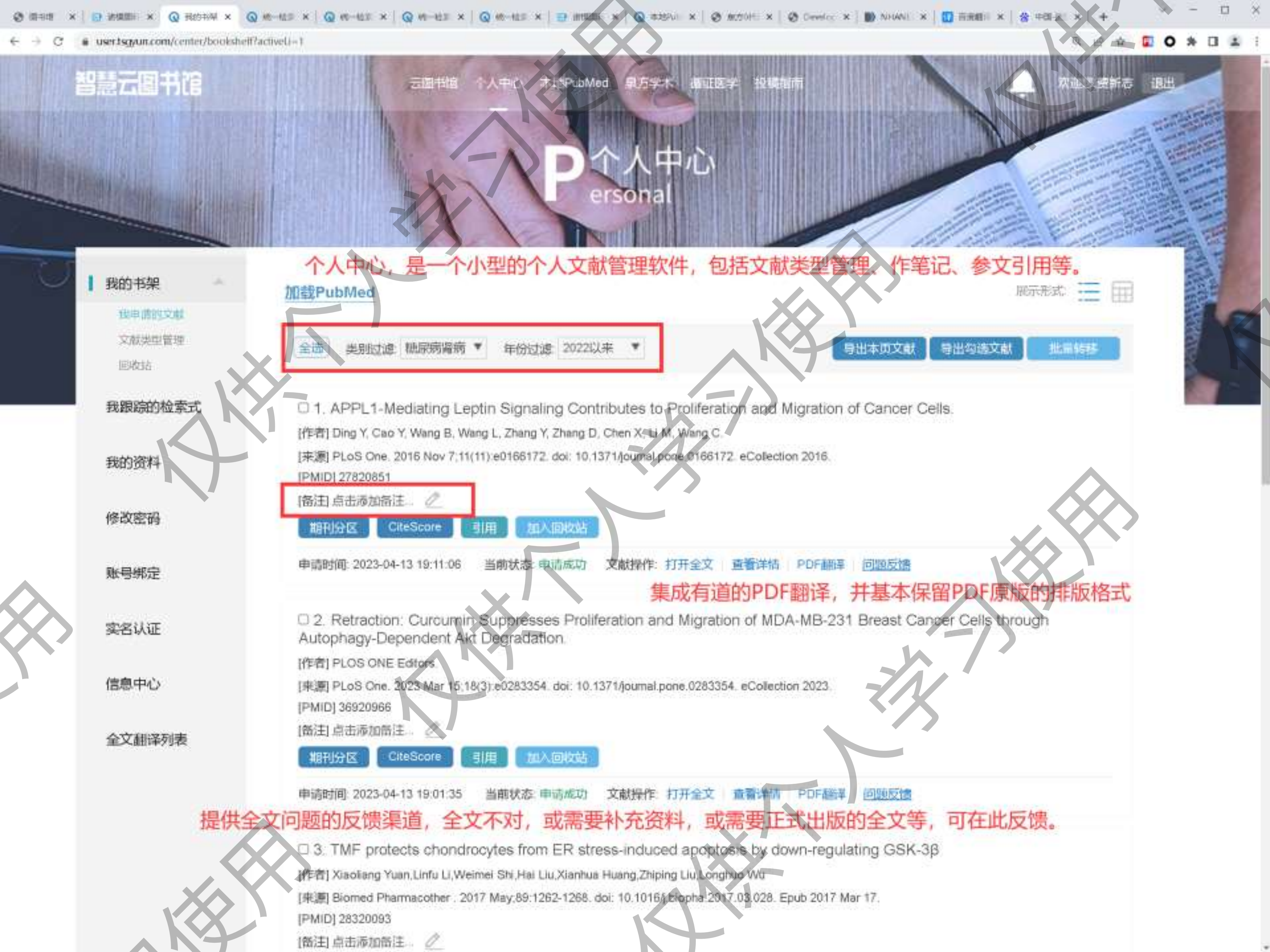
user.tsgyun.com/center/bookshelf?activeLi=1
智慧云图书馆
云图书馆
个人中心
本地PubMed
泉方学术
循证医学
投稿指南
退出
P个人中心
Personal
个人中心，是一个小型的个人文献管理软件，包括文献类型管理、作笔记、参文引用等。
我的书架
我申请的文献
文献类型管理
回收站
我跟踪的检索式
我的资料
修改密码
账号绑定
实名认证
信息中心
全文翻译列表
加载PubMed
展示形式:
全选
类别过滤 糖尿病肾病
年份过滤 2022以来
导出本页文献
导出勾选文献
批量转移
1. APPL1-Mediating Leptin Signaling Contributes to Proliferation and Migration of Cancer Cells.
[作者] Ding Y, Cao Y, Wang B, Wang L, Zhang Y, Zhang D, Chen X, Li M, Wang C.
[来源] PLoS One. 2016 Nov 7;11(11):e0166172. doi: 10.1371/journal.pone.0166172. eCollection 2016.
[PMID] 27820851
[备注] 点击添加备注...
期刊分区
CiteScore
引用
加入回收站
申请时间: 2023-04-13 19:11:06
当前状态: 申请成功
文献操作: 打开全文 | 查看详情 | PDF翻译 | 问题反馈
集成有道的PDF翻译，并基本保留PDF原版的排版格式
2. Retraction: Curcumin Suppresses Proliferation and Migration of MDA-MB-231 Breast Cancer Cells through Autophagy-Dependent Akt Degradation.
[作者] PLOS ONE Editors
[来源] PLoS One. 2023 Mar 15;18(3):e0283354. doi: 10.1371/journal.pone.0283354. eCollection 2023.
[PMID] 36920966
[备注] 点击添加备注...
期刊分区
CiteScore
引用
加入回收站
申请时间: 2023-04-13 19:01:35
当前状态: 申请成功
文献操作: 打开全文 | 查看详情 | PDF翻译 | 问题反馈
提供全文问题的反馈渠道，全文不对，或需要补充资料，或需要正式出版的全文等，可在此反馈。
3. TMF protects chondrocytes from ER stress-induced apoptosis by down-regulating GSK-3β
[作者] Xiaoliang Yuan,Linfu Li,Weimei Shi,Hai Liu,Xianhua Huang,Zhiping Liu,Longhuo Wu
[来源] Biomed Pharmacother . 2017 May;89:1262-1268. doi: 10.1016/j.biopha.2017.03.028. Epub 2017 Mar 17.
[PMID] 28320093
[备注] 点击添加备注...

作论文笔记

Lucchini et al.
Journal of Orthopaedic Surgery and Research (2022) 17:293
https://doi.org/10.1186/s13018-022-03190-6

Journal of Orthopaedic Surgery and Research

RESEARCH Open Access

A case-driven hypothesis for multi-stage crack growth mechanism in fourth-generation ceramic head fracture

Stefano Lucchini[1], Massimiliano Baleani[1*], Federico Giardina[1], Andrea Martelli[2], Francesco Castagnini[1], Barbara Bordini[2] and Francesco Traina[1]

这篇文章的结论有点意思

Abstract

Background: Ceramic bearings are used in total hip arthroplasty due to their excellent wear behaviour and biocompatibility. The major concern related to their use is material brittleness, which significantly impacts on the risk of fracture of ceramic components. Fracture toughness improvement has contributed to the decrease in fracture rate, at least of the prosthetic head. However, the root cause behind these rare events is not fully understood. This study evaluated head fracture occurrence in a sizeable cohort of patients with fourth-generation ceramic-on-ceramic implants and described the circumstances reported by patients in the rare cases of head fracture.

Methods: The clinical survivorship of 29,495 hip prostheses, with fourth-generation ceramic bearings, was determined using data from a joint replacement registry. The average follow-up period was 2 years (range 0.1–15 y). Retrieval analysis was performed in one case for which the ceramic components were available.

Results: Clinical outcomes confirmed the extremely low fracture rate of fourth-generation ceramic heads: only two out of 29,495 heads fractured. The two fractures, both involving 36 mm heads, occurred without a concurrent or previous remarkable trauma. Considering the feature of the fractured head, a multi-stage crack growth mechanism has been hypothesized to occur following damage at the head–neck taper interface.

这两例?

Conclusions: Surgeons must continue to pay attention to the assembly of the femoral head: achieving a proper head seating on a clean taper is a prerequisite to decrease the risk of occurrence of any damage process within head–neck junction, which may cause high stress concentration at this contact surface, promoting crack nucleation and propagation even in toughened ceramics.

Keywords: Hip prosthesis, Ceramic bearing, Ceramic head fracture, Fracture rate, Mode of failure

Background

Total hip arthroplasty (THA) is a successful surgical procedure consisting in the replacement of the coxal joint with prosthetic components. To date, the most widely used bearing couples are metal-on-polyethylene, ceramic-on-polyethylene and ceramic-on-ceramic.

Ceramic-on-ceramic (CoC) bearings have been introduced trying to minimize the risks associated with metal and polyethylene wear debris, such as particle disease, osteolysis and aseptic loosening of prosthetic components [1–3]. Although the choice of ceramic bearings partially resolved the aforementioned concerns due to the outstanding tribological properties, this solution left

*Correspondence: massimiliano.baleani@ior.it
[1]IRCCS Istituto Ortopedico Rizzoli, Laboratorio di Tecnologia Medica, Bologna, Italy
Full list of author information is available at the end of the article

下载译文Word 下载译文PDF 下载原文 我的翻译列表

注：若遇到译文打开失败 请点击左侧下载译文Word进行查看。

RESEARCH ARTICLE

APPL1-Mediating Leptin Signaling Contributes to Proliferation and Migration of Cancer Cells

Youming Ding[1], Yingkang Cao[2], Bin Wang[1], Lei Wang[1], Yemin Zhang[2], Deling Zhang[2], Xiaoyan Chen[1], Mingxin Li[2], Changhua Wang[2]*

1 Department of Hepatobiliary & Laparoscopic Surgery, Wuhan University Renmin Hospital, Wuhan, 430060, China, 2 Department of Pathology & Pathophysiology, Wuhan University School of Basic Medical Sciences, Wuhan, 430071, China

* chwang0525@whu.edu.cn

CrossMark

OPEN ACCESS

Citation: Ding Y, Cao Y, Wang B, Wang L, Zhang Y, Zhang D, et al. (2016) APPL1-Mediating Leptin Signaling Contributes to Proliferation and Migration of Cancer Cells. PLoS ONE 11(11): e0166172. doi:10.1371/journal.pone.0166172

Editor: Salvatore V Pizzo, Duke University School of Medicine, UNITED STATES

Received: June 21, 2016

Accepted: October 23, 2016

Published: November 7, 2016

Data Availability Statement: All relevant data are within the paper.

Funding: This work was supported by a grant from the National Natural Science Foundation of China (No. 81170768) to Dr. Changhua Wang.

Competing Interests: The authors have declared that no competing interests exist.

Abstract

Leptin has been implicated in tumorigenesis and tumor progression, particularly in obese patients. As a multifunctional adaptor protein, APPL1 (containing pleckstrin homology domain, phosphotyrosine binding domain, and a leucine zipper motif 1) plays a critical role in regulating adiponectin and insulin signaling pathways. Currently, high APPL1 level has been suggested to be related to metastases and progression of some types of cancer. However, the intercourse between leptin signaling pathway and APPL1 remains poorly understood. Here, we show that the protein levels and phosphorylation statuses of APPL1 were highly expressed in tissues from human hepatocellular carcinoma and triple-positive breast cancer. Leptin stimulated APPL1 phosphorylation in a time-dependent manner in both human hepatocellular carcinoma HepG2 cell and breast cancer MCF-7 cell. Overexpression or suppression of APPL1 promoted or attenuated, respectively, leptin-induced phosphorylation of STAT3, ERK1/2, and Akt in the cancer cells, accompanied with enhanced or mitigated cell proliferation and migration. In addition, we identified that APPL1 directly bound to both leptin receptor and STAT3. This interaction was significantly enhanced by leptin stimulation. Our results suggested that APPL1 positively mediated leptin signaling and promoted leptin-induced proliferation and migration of cancer cells. This finding reveals a novel mechanism by which leptin promotes the motility and growth of cancer cells.

Introduction

A growing body of carefully executed epidemiological studies has highlighted associations between obese subjects and increased risk of several cancer types including hepatocellular carcinoma (HCC) and breast cancer [1–5]. Leptin is produced by the fat tissue and is a biomarker of obesity [6]. Indeed, high leptin levels are found in both animal models of obesity and obese individuals. Through binding to its receptor, leptin stimulates a cascade of signaling events and

PLOS | ONE

研究文章

appl1介导瘦素信号转导有助于癌细胞的增殖和迁移

丁有明[1]，曹英康[2]，王斌[1]，王磊[1]，张业敏[2]，张德玲[2]，陈晓燕[1]，李明新[2]，王昌华[2]*

1武汉大学人民医院肝胆腹腔镜外科，武汉；

2武汉大学基础医学院病理与病理生理学教研室，武汉430071

* chwang0525@whu.edu.cn

CrossMark

摘要

瘦素与肿瘤的发生和进展有关，尤其是在肥胖患者中。作为一种多功能的连接蛋白，APPL1(包含pleckstrin同源结构域、磷酸酪氨酸结合结构域和一个亮氨酸拉链基序1)在调节脂联素和胰岛素信号通路中发挥重要作用。目前，APPL1水平高被认为与某些类型癌症的转移和进展有关。然而，瘦素信号通路与APPL1之间的相互作用仍不清楚。在这里，我们发现APPL1-的蛋白水平和磷酸化状态在人肝细胞癌和三阳性乳腺癌组织中高度表达。Leptin在人肝癌HepG2细胞和乳腺癌MCF-7细胞中均以时间依赖的方式刺激APPL1磷酸化。过表达或抑制APPL1分别促进或减弱leptin诱导的癌细胞中STAT3、ERK1/2和Akt的磷酸化，并增强或减弱细胞的增殖和迁移。此外，我们还发现APPL1可以直接结合瘦素受体和STAT3。瘦素刺激显著增强了这种相互作用。我们的研究结果表明，APPL1正向介导瘦素信号转导，促进瘦素诱导的癌细胞增殖和迁移。这一发现揭示了瘦素促进癌细胞运动和生长的新机制。

开放获取

引用本文：丁勇，曹勇，王斌，王磊，张勇，张东等(2016) APPL1-Mediating Leptin Signaling Contributes to Proliferation and Migration of Cancer Cells. PLoS ONE 11(11): e0166172。doi:10.1371/journal.pone.0166172

作者：Salvatore V Pizzo，杜克大学医学院，美国

收稿日期：2016年6月21日

录用日期：2016.10.23

发布日期：2016年11月7日

数据可用性声明：所有相关数据均在论文中。

基金资助：国家自然科学基金资助项目(No. 81170768)王昌华博士。资助者在研究设计、数据收集和分析、发表决定或手稿准备中没有任何作用。竞争利益：作者声明不存在竞争利益。

简介

越来越多的仔细执行的流行病学研究强调了肥胖受试者与包括肝细胞癌(HCC)和乳腺癌在内的几种癌症风险增加之间的联系[1-5]。瘦素由脂肪组织产生，是肥胖的生物标志。事实上，在肥胖动物模型和肥胖个体中都发现了高瘦素水平。通过与瘦素受体的结合，瘦素刺激一系列的信号传导事件

检索结果的图形化显示，是用“点”在坐标系中代表文章的一种显示方法。

使用指南

山东第一医科大学（山东省医学科学院）
本地PubMed检索平台

All Fields | tgf beta5 | 检索 | 二次检索 | 高级检索

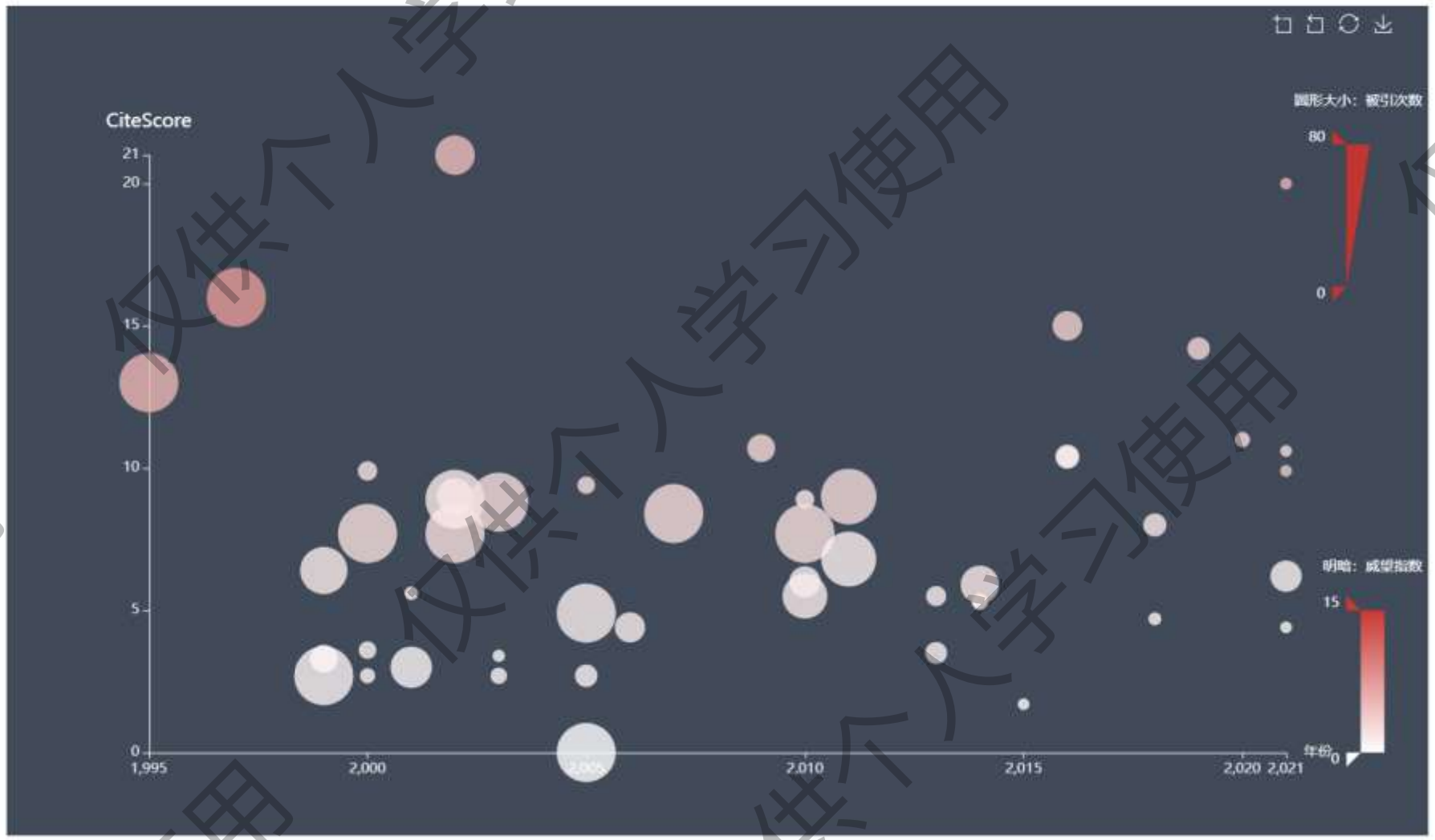

X轴是发文的时间，Y轴是期刊的影响因子，点的大小是被引次数，颜色的深浅是威望指数。

本研究领域内最新的研究点：

Mesh词

新词	本次检索频次	影响因子总和	被引次数总和
Xenograft Model Antitumor Assays	1	5.559	0
Oligopeptides	1	5.559	0
Cancer-Associated Fibroblasts	1	5.559	0
Carcinoma, Pancreatic Ductal	1	5.559	0
Drug Therapy	1	5.559	0
Tumor Microenvironment	1	5.559	0
Pancreatic Neoplasms	1	5.559	0
Disease Progression	1	5.559	0
Drug Delivery Systems	1	5.559	0

1 跳转

新词的定义是：

在某研究领域内，将所有的文章分为两组，A组是近一年内的，其它的均为B组，如果某个关键词在A组的文章中出现，但没有在B组中出现，我们即认为这个关键词是新词。

聚类关联 可视聚类

Subheadings

- (34) therapy
- (29) diagnosis
- (23) standards
- (22) therapeutic use
- (13) mortality
- (12) methods
- (12) complications
- (12) etiology
- (11) prevention & control
- (10) adverse effects
- (8) physiopathology
- (6) drug therapy
- (5) epidemiology
- (5) diagnostic imaging
- (5) antagonists & inhibitors
- (5) organization & administ...
- (5) surgery
- (4) rehabilitation
- (4) administration & dosage
- (4) trends
- (4) statistics & numerical da...
- (3) instrumentation
- (3) physiology
- (3) classification
- (3) blood
- (2) education
- (2) pathology
- (2) chemically induced
- (2) analogs & derivatives
- (1) psychology
- (1) history
- (1) congenital

关闭>>

全部(43) 提交 清空

副主题词分类、主题词大类分类鸟瞰图

Analytical, Diagnostic and Therapeu...

1. (43) Coronary Artery Bypass
2. (27) Angioplasty, Balloon, Coronary
3. (24) Risk Assessment
4. (16) Percutaneous Coronary Intervention
5. (15) Risk Factors
6. (13) Treatment Outcome
7. (13) Electrocardiography
8. (11) Coronary Angiography
9. (11) Thrombolytic Therapy
10. (9) Prognosis

查看更多>>

Health Care Category

1. (23) Risk Assessment
2. (15) Risk Factors
3. (13) Treatment Outcome
4. (5) Randomized Controlled Trials as Topic
5. (5) Emergency Medical Services
6. (5) Coronary Care Units
7. (5) Patient Selection
8. (4) Survival Analysis
9. (4) Age Factors
10. (4) Quality Assurance, Health Care

查看更多>>

Diseases Category

1. (22) Myocardial Infarction
2. (12) Coronary Disease
3. (7) Heart Failure
4. (7) Coronary Artery Disease
5. (6) Acute Coronary Syndrome
6. (5) Arrhythmias, Cardiac
7. (5) Postoperative Complications
8. (5) Angina Pectoris
9. (5) Angina, Unstable
10. (4) Coronary Stenosis

查看更多>>

聚类关联 可视聚类

副标题

- [ ] (34) 治疗
- [ ] (29) 诊断
- [ ] (23) 标准
- [ ] (22) 治疗用途
- [ ] (13) 死亡率
- [ ] （十二） 方法
- [ ] (12) 并发症
- [ ] (12) 病因
- [ ] （十一） 药控
- [ ] (10) 不良反应
- [ ] (8) 病理生理学
- [ ] (6) 药物治疗
- [ ] (5) 流行病学
- [ ] (5) 影像诊断
- [ ] (5) 拮抗剂和抑制剂
- [ ] (5) 组织与行政
- [ ] (5) 手术
- [ ] (4) 康复
- [ ] (4) 给药与剂量
- [ ] (4) 趋势
- [ ] (4) 统计和数值数据
- [ ] (3) 仪器仪表
- [ ] (3) 生理学
- [ ] (3) 分类
- [ ] (3) 血液
- [ ] (2) 教育
- [ ] (2) 病理学
- [ ] (2) 化学诱导
- [ ] (2) 类似物和衍生物
- [ ] (1) 心理学
- [ ] (1) 历史
- [ ] (1) 先天性

关闭>>

全部(43) 提交 清空

翻译为中文下的聚类关联

分析、诊断和治疗技术和设备类别

1. (43) 冠状动脉搭桥术
2. (27) 血管成形术，球囊，冠状动脉
3. (23) 风险评估
4. (16) 经皮冠状动脉介入治疗
5. (15) 风险因素
6. (13) 治疗效果
7. (13) 心电图
8. (11) 冠状动脉造影
9. (11) 溶栓治疗
10. (9) 预后

查看更多>>

保健品类

1. (23) 风险评估
2. (15) 风险因素
3. (13) 治疗效果
4. (5) 作为主题的随机对照试验
5. (5) 紧急医疗服务
6. (5) 冠心病监护室
7. (5) 患者选择
8. (4) 生存分析
9. (4) 年龄因素
10. (4) 质量保证、医疗保健

查看更多>>

疾病类别

1. (22) 心肌梗塞
2. (12) 冠心病
3. (7) 心脏衰竭
4. (7) 冠状动脉疾病
5. (6) 急性冠状动脉综合征
6. (5) 心律失常、心脏
7. (5) 术后并发症
8. (5) 心绞痛
9. (5) 心绞痛，不稳定
10. (4) 冠状动脉狭窄

查看更多>>

本地PubMed检索平台及诺模图科研数据分析平台简介

四、诺模图之：科研工具


nuomotu.yuntsg.com
诺模图科研数据分析平台(测试版)
Nomogram scientific research data analysis platform
首页
相关期刊
相关检索词
相关机构
相关作者
指定科室的相关机构、期刊
文献检索
本地PubMed
一站式检索平台
易万学术
检索
数据分析
数据分析
SCI论文的文字和图片查重
部分中科院10分以上一区论文的R语言代码复现
科研工具
论文剖析
定题跟踪
论文翻译
文献互助
本地PubMed
机构成果订阅
机构成果展示
按机构加科室来订阅或展示学术成果
切换科室
意见反馈
1. Changing an academic pathology department: challenges and opportunities.
2. Pathology of liver disease: advances in the last 50 years.
科室可以按教育部的学科或复旦医院排行榜中的科室名称来切换
查看更多+
https://nuomotu.yuntsg.com/
病理科 成果展示
科室发文机构
25428 家
科室发文期刊
5780 种
科室发文作者
101204 人

临床预测模型方面的典型论文

基线表

ROC曲线

LASSO

校准度

诺模图

DCA

急性深静脉血栓形成抗凝治疗后综合征临床预测模型的开发和验证

pubmed.ncbi.nlm.nih.gov/?term=clinical%5Bti%5D+AND+model%5Bti%5D+AND+prediction&sort=pubdate

An official website of the United States government Here's how you know

检索时间：2023-04-17

National Library of Medicine
National Center for Biotechnology Information

Log in

PubMed®

clinical[ti] AND model[ti] AND prediction

Search

Advanced Create alert Create RSS User Guide

Save Email Send to Sorted by: Publication date Display options

总数2082篇，被中科院分区表中的期刊收录91%。其中，一区347篇，二区539篇，三区648篇，四区363篇，一区二区占42%！

MY NCBI FILTERS

2,082 results

Page 1 of 209

RESULTS BY YEAR

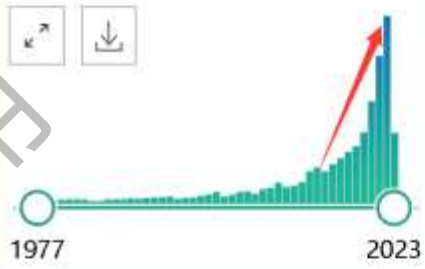

TEXT AVAILABILITY

- Abstract
- Free full text
- Full text

ARTICLE ATTRIBUTE

1 An efficient landmark **model** for **prediction** of suicide attempts in multiple **clinical** settings.

Cite

Sheu YH, Sun J, Lee H, Castro VM, Barak-Corren Y, Song E, Madsen EM, Gordon WJ, Kohane IS, Churchill SE, Reis BY, Cai T, Smoller JW.

Share

Psychiatry Res. 2023 May;323:115175. doi: 10.1016/j.psychres.2023.115175. Epub 2023 Mar 21.

PMID: 37003169 Free article.

Using the landmark approach, we developed models for SRB **prediction** (regularized Cox regression and random survival forest) that establish a time-point (e.g., clinical visit) from which **predictions** are made over user-specified **prediction** windows using histori ...

Impact Factor

临床预测模型方面的论文，需要大量的、真实的临床病例数据

2 **Clinical prediction model** for pulmonary thrombosis diagnosis in hospitalized patients with SARS-CoV-2 infection.

Cite

Franco-Moreno A, Brown-Lavalle D, Rodríguez-Ramírez N, Muñoz-Roldán C, Rubio-Aguilera AI, Campos-Arenas M, Muñoz-Rivas N, Moya-Mateo E, Ruiz-Giardín JM, Pardo-Guimerá V, Ulla-Anes M,

pubmed.ncbi.nlm.nih.gov/?term=NHANES%5BTI%5D+&sort=pubdate

An official website of the United States government Here's how you know

检索时间：2023-04-17

National Library of Medicine
National Center for Biotechnology Information

Log in

PubMed®

NHANES[TI]

Search

Advanced Create alert Create RSS User Guide

Save Email Send to Sorted by: Publication date Display options

论文总数2877篇，中科院期刊分区表收录的论文数占90%。其中，一区453篇，二区969篇，三区757篇，四区412篇，一区二区占49%!

MY NCBI FILTERS

2,877 results

Page 1 of 288

RESULTS BY YEAR

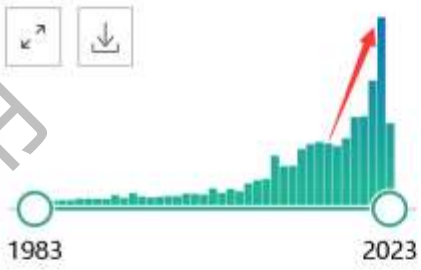

TEXT AVAILABILITY

- Abstract
- Free full text
- Full text

ARTICLE ATTRIBUTE

1 Cite Share

Inflammatory properties of diet mediate the effect of epilepsy on moderate to severe depression: Results from **NHANES** 2013-2018.

Ding R, Han Z, Gui J, Xie L, Yang J, Yang X, Huang D, Luo H, Han W, Jiang L.

J Affect Disord. 2023 Jun 15;331:175-183. doi: 10.1016/j.jad.2023.03.054. Epub 2023 Mar 21.

PMID: 36948467

Impact Factor

美国国家健康与营养调查NHANES数据库是权威的公共数据库

2 Cite Share

Associations between the compositional patterns of blood volatile organic compounds and chronic respiratory diseases and ages at onset in **NHANES** 2003-2012.

Wang Y, Han X, Li J, Zhang L, Liu Y, Jin R, Chen L, Chu X.

Chemosphere. 2023 Jun;327:138425. doi: 10.1016/j.chemosphere.2023.138425. Epub 2023 Mar 15.

PMID: 36931402

Impact Factor


泉方0代码重现论文系列
临床预测模型，只需要用户提供真实的临床病例数据，通过本平台，即可以进行基线分析、差异性分析、单/多因素回归、LASSO回归、区分度分析、校准度分析、决策曲线分析、诺模图、NRI_IDI指数等。
工具箱
NHANES是美国疾病控制和预防中心旨在评估美国成人和儿童的健康和营养状况进而执行的一项基于人群的横断面调查研究计划。NHANES数据够全，可以覆盖90%以上的临床科室的研究主题。通过本平台可以0代码的完成数据提取和数据纳排，以及对典型论文的0代码复现。

如何实现0代码复现或新写论文呢?

1.与参照的论文类似（比如，参照的论文写的是脑梗的预后，你写的是心衰的预后，只是参数上的不同），可以按要求上传自己的数据，直接生成图表。

2.使用工具箱中的各种工具，包括数据清洗等，一步步生成图表，这个需要下些功夫理解工具的使用，但仍然不需要写代码。

下面是生成的一系列图表，可以插入论文中，基本解决一般的论文作者，不擅长写代码的问题。

分析报告

一、输入变量

自变量：x_age , x_sex_female , x_sex_male , x_bmi , x_smoking , x_side_of_dvt_left , x_side_of_dvt_right , x_side_of_dvt_bilateral , x_symptom_pain , x_symptom_edema , x_symptom_pain_on_calf_compression , x_ilio_femoral_dvt , x_risk_factors_of_dvt_surgery_and_immobilization , x_risk_factors_of_dvt_fracture , x_risk_factors_of_dvt_active_cancer , x_risk_factors_of_dvt_hyperhomocysteinemia , x_risk_factors_of_dvt_cvi , x_risk_factors_of_dvt_history_of_vte , x_risk_factors_of_dvt_pregnancy , x_risk_factors_of_dvt_thrombophilia , x_risk_factors_of_dvt_chronic_kidney_disease , x_risk_factors_of_dvt_oral_contraceptive , x_risk_factors_of_dvt_family_history_of_dvt , x_risk_factors_of_dvt_unprovoked , x_comorbidity_hypertension , x_comorbidity_pe , x_comorbidity_stroke , x_comorbidity_diabetes , x_comorbidity_coronary_heart_disease , x_comorbidity_immune_rheumatism , x_types_of_anticoagulants_lmwh , x_types_of_anticoagulants_doacs , x_types_of_anticoagulants_vka , x_types_of_anticoagulants_other , x_duration_of_compression_therapy_dayu_6_mon , x_duration_of_compression_therapy_xiaoyu_6_mon , x_d_dimmer

结局变量：y_post_thrombotic_syndrome

数据分组方式：按字段分组（s_group）

初步筛选预测因子：1倍se Lasso回归

自变量数量：12

自变量字段：x_bmi , x_side_of_dvt_left , x_ilio_femoral_dvt , x_risk_factors_of_dvt_surgery_and_immobilization , x_risk_factors_of_dvt_fracture , x_risk_factors_of_dvt_cvi , x_risk_factors_of_dvt_history_of_vte , x_risk_factors_of_dvt_chronic_kidney_disease , x_risk_factors_of_dvt_family_history_of_dvt , x_risk_factors_of_dvt_unprovoked , x_types_of_anticoagulants_lmwh , x_d_dimmer

二次筛选预测因子：多因素Logistic回归并过滤P值<0.05

自变量数量：8

自变量字段：x_bmi , x_ilio_femoral_dvt , x_risk_factors_of_dvt_cvi , x_risk_factors_of_dvt_history_of_vte , x_risk_factors_of_dvt_chronic_kidney_disease , x_risk_factors_of_dvt_unprovoked , x_types_of_anticoagulants_lmwh , x_d_dimmer

二、Lasso图

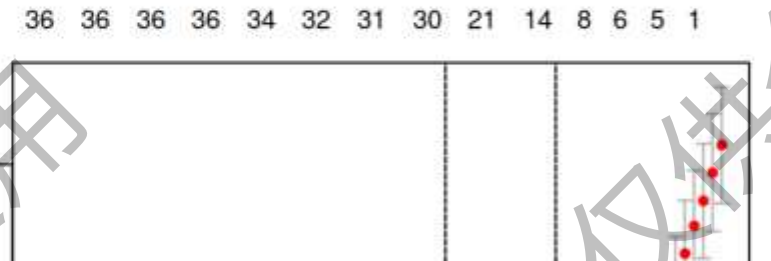

本地PubMed检索平台及诺模图科研数据分析平台简介

五、诺模图之：论文剖析


论文剖析
论文剖析，目前分为基础文字分析和插图分析
提交检测
分析记录
自建库
使用的步骤：
1.在提交检测界面上传检测的论文
2.在分析记录中点击预分析的论文
基础文字分析
插图分析
自建库
公共库
当前字符数: 2481字
系统分段分析片段
自定义选取分析片段
点击系统检测到的相似片段进行分析
weresynthesizedbyShanghai Genepharmacy Technology. The sequences were 5'-GATCCGCCACATGAACGCCCAGAGATTTTCAAGAGA- AATCTCTGGGCGTTCATGTGGTTTTTTG-3' (sense) and 5'- AATTCAAAAAACCACATGAACGCCCAGAGATTTCTC-TTGAAAATCTCTGGGCGTTCATGTGGCG-3' (antisense). The Knockout™ RNAi System (Clontech Laboratories, CA, USA) was used to establish the pENTR-sh-HOTAIR vector. Then, we transfected HO-8910 cells with pENTR-sh-HOTAIR or the empty pENTR vectors, and the subclones were selected with puromycin. Establishment of the nude mouse model To investigate the roles of HOTAIR in vivo, we established a nude mouse model bearing HO-8910 xenografts. Our mouse handling procedures were approved by the Jiangnan Univer- sity Institutional Animal Care and Use Committee. In brief, 5- to 6-week-old female balb/c nude mice were randomly divid- ed into four groups (n=5 in each group): negative control, sh- HOTAIR, cisplatin, and sh-HOTAIR+cisplatin. First, 100 μl (1×106 cells) HO-8910 cells with or without HOTAIR knock- down were subcutaneously injected into the left posterior flank of the nude mice. Then, tumor diameters were checked once a week using calipers (tumor volume=(length×width2)/ 2). When the tumor volume reached 100 mm3, cisplatin was administered once every other day (intraperitoneal injection, 3 mg/kg each time, three total doses). At the end of the fourth week, all mice were sacrificed, and tumor tissues were collect- ed for analysis. Tumor Biol. Immunohistochemical staining The mouse tissues were formalin-fixed/paraffin-embedded and cut into 4-μm-thick slides for immunohistochemical analysis. The antigen retrieval procedure was performed in EDTA buffer (pH 8.0, Golden Bridge Biotechnology, Beijing, China) using a microwave for 25 min. Then, the slides were incubated with primary antibodies overnight at 4 °C. The next day, the slides were washed and incubated with the appropriate secondary an- tibodies for 2 h at room temperature. Finally, the specific stain- ing was visualized using the IHC Detection kit (Mingrui Bio- technology, Shanghai, China). Primary antibodies used in this study were anti-Ki-67 (1:200, Cell Signaling Technology) and anti-cyclin D1 (1:100, Cell Signaling Technology). The staining was evaluated according to the criteria: 0, no expression
在系统中检索到的相似片段，并且包括该相似片段所在的论文以及它的上一句或下一句。
当前分析片段
Then, the slides were incubated with primary antibodies overnight at 4 °C.
相似片段
The slides were incubated with primary antibodies overnight at 4°C.
显示上一句 | 显示下一句 | 查看全文
MATERIALS AND METHODS_90
The slides were incubated with primary antibodies overnight at 4°C.
显示上一句 | 显示下一句 | 查看全文
METHODS_45
The slides were incubated with primary antibodies overnight at 4 °C.
显示上一句 | 显示下一句 | 查看全文
Method_55
The slides were incubated with the primary antibodies overnight at 4◆C.
显示上一句 | 显示下一句 | 查看全文
Materials and Methods_43
Slides were incubated with primary antibodies overnight at 4° C.
显示上一句 | 显示下一句 | 查看全文
METHODS_194
此为用户自己上传的论文，系统自动给拆分成段，再拆分成句子
如果相似片段为空，说明没有检索到相似片段。但检索到相似片也不代表是抄袭，因为可能是类似的描述，具体需要人工来判断。
温馨提示


论文剖析
此功能基于AI，基本的变形、变色、扭曲、加减等，均可以检测的出来，但仍然需要人工的最终判断。
插图分析的作用：
1.以图搜文，查找类似的论文
2.检测是否涉及图片的重复使用或抄袭
基础文字分析
插图分析
提交检测
分析记录
自建库
公共库
选择分析图片：
相似图片：
图片分析
主图：
自定义拆分
左侧为论文中拆分出来的图片
主图拆分结果：
系统拆分
自定义拆分
分析结果：
右侧为系统中检索出来的图片
相似度: 0.7728192
查看全文
对比
查看该图片所在的全文
相似度: 0.75967944
查看全文
对比
对比，即更进一步的对比
学术诚信，胜过一切检测系统！

nsfc.gov.cn

国家自然科学基金委员会 www.nsfc.gov.cn 微信公众号 English

检索时间：2023-04-20

国家自然科学基金委员会
National Natural Science Foundation of China

全站 通报

排序： 按相关度 按时间 ▼ 搜索位置： 全文 标题 时间不限 ▼ 30 个相关结果

通知通告 2022年查处的不端行为案件处理结果通报（第三批次） 2022-10-25

近期，经国家自然科学基金委员会监督委员会调查审议、国家自然科学基金委员会委务会议审定，国家自然科学基金委员会对相关科研不端案件涉事主体进行了处理。现将给予通报批评的有关案情及处理结果予以通报。 国家自然科学基金委员会 2022年10月24日 关于对李春阳被撤稿的论文存在委托第三方公司 代写代投、署名不实等问题处理结果的通报 国家自然...

通知通告 国家自然科学基金委员会关于2020-2021年度部分项目资金监督检查情况的通报 2023-3-15

2020—2021年，国家自然科学基金委员会（以下简称自然科学基金委）根据《国家自然科学基金条例》《国家自然科学基金资助项目资金管理办法》及补充通知的有关规定，委托第三方社会中介机构，以抽查的方式分别对浙江、云南、海南、江苏、新疆、青海6个省（自治区）的136家依托单位的创新群体、"杰青""优青"、重点、面上、青年、地区、联合基金等10类项目，合计1859个科学基金资助项目资金的...

通知通告 2018-2019年度国家自然科学基金资助项目资金常规抽查情况通报 2020-6-17

一、基本情况 2018-2019年，国家自然科学基金委员会（以下简称自然科学基金委）根据《国家自然科学基金条例》《国家自然科学基金资助项目资金管理办法》及补充通知的有关规定，委托第三方社会中介机构以抽查的方式，分别对山东、上海和广西地区49个依托单位的面上、青年、重点、优青、杰青、创新群体等8类合计707个科学基金资助项目资金的管理和使用情况开展了检查，抽查项目资金总额...

基金要闻 【人民日报】自然科学基金委通报科研不端典型 2016-12-14

本报北京12月12日电（记者谷业凯）12日，国家自然科学基金委员会在京召开2016年"捍卫科学道德 反对科研不端"通报会，通报了2015—2016年查处的科研不端行为典型案例。 此次会议重点通报了2015年多起国际论文撤销事件，涉及论文117篇，其中有23篇被撤论文标注了科学基金资助，5篇被列入已获得资助的项目申请书中。自然科学基金委对这28篇被撤论文展开集中调查，发现被撤论文都是委...

基金要闻 【科学网】基金委召开"捍卫科学道德 反对科研不端"通报会 2016-12-14

2016年12月12日上午，国家自然科学基金委员会（以下简称基金委）在京召开2016年"捍卫科学道德 反对科研不端"通报会，通报了2015-2016年查处的科研不端行为典型案例。基金委党组书记、主任杨卫院士，基金委监督委员会主任陈宜瑜院士和基金委党组成员、副主任何鸣鸿研究员出席会议并回答了记者提问。基金委科研诚信建设办公室主任朱蔚彤同志通报了一批典型案例。通报会由基金委副秘书长...

通知公告

图解：2023年"负责任、讲信誉、计贡献"评审机制试点工作
2023-4-14

2023年度国家自然科学基金委员会与土耳其科学技术研究理事会合作研究项目指南
2023-4-12

2023年度国家自然科学基金委员会与白俄罗斯基础研究基金会合作交流项目指南
2023-4-12

关于征集"未来工业互联网基础理论与关键技术"重大研究计划2023年度项目指南建议的通知
2023-4-7

2023年度国家自然科学基金委员会与比利时弗兰德研究基金会合作交流项目指南
2023-4-4

基金要闻

中共国家自然科学基金委员会党组召开学习贯彻习近平新时代中国特色社会主义思想主题教育动员部署会
2023-4-13

国家自然科学基金专项项目"支撑国家双碳战略的政策建模与策略研究"启动会在京召开

本通报中，除了申请书存在抄袭剽窃问题外，涉事的论文共计24篇：

不端行为	篇数
伪造、篡改研究数据	1
第三方公司代写代投、署名不实	1
论文存在数据造假	2
论文存在抄袭、未经同意擅自标注他人基金项目	2
伪造、篡改图片或图片使用混乱	18

因图片问题引起的通报批评，追回已拨资金或取消申请资格的，占到论文不端行为的75%！

《关于对宋波、李连宏、张俊、杜钺发表的论文存在伪造、篡改图片等问题并在项目结题报告中存在虚假信息处理结果的通报》

论文1: Lihui Yu#, Ying Lu#, Xiaocui Han, Wenyue Zhao, Jiazhi Li, Jun Mao, Bo Wang, Jie Shen, Shujun Fan, Lu Wang, Mei Wang, Lianhong Li, Jianwu Tang, Bo Song*. microRNA-140-5p inhibits colorectal cancer invasion and metastasis by targeting ADAMTS5 and IGFBP5. Stem Cell Res. Ther., 2016, 7(1):180. (标注基金号81172052)

论文2: Min Li#, Ying Lu#, Yunchao Xu, Jingwen Wang, Chenghong Zhang, Yue Du, Lu Wang, Lianhong Li, Bo Wang, Jie Shen, Jianwu Tang*, Bo Song*. Horizontal transfer of exosomal CXCR4 promotes murine hepatocarcinoma cell migration, invasion and lymphangiogenesis. Gene, 2018, 676:101-109. (标注基金号81172052)

论文3: Jiazhi Li, Kun Zou, Lihui Yu, Wenyue Zhao, Ying Lu, Jun Mao, Bo Wang, Lu Wang, Shujun Fan, Bo Song*, Lianhong Li*. MicroRNA-140 Inhibits the Epithelial-Mesenchymal Transition and Metastasis in Colorectal Cancer. Mol. Ther. Nucleic. Acids, 2018, 10:426-437. (标注基金号81172052、81272430)

论文4: Jun Zhang, Dan Liu, Zhuo Feng, Jun Mao, Chunying Zhang, Ying Lu, Jiazhi Li, Qingqing Zhang, Qing Li, Lianhong Li*. MicroRNA-138 modulates metastasis and EMT in breast cancer cells by targeting vimentin. Biomed. Pharmacother., 2016, 77:135-41. (标注基金号81272430)

论文5: Le Kang, Jun Mao, Yajun Tao, Bo Song, Wei Ma, Ying Lu, Lijing Zhao, Jiazhi Li, Baoxue Yang*, Lianhong Li*. MicroRNA-34a suppresses the breast cancer stem cell-like characteristics by downregulating Notch1 pathway. Cancer Sci., 2015, 106(6):700-708. (标注基金号81272430、81170632)

论文6: Yue Du#, Yuhong Huang#, Yue Gao, Bo Song, Jun Mao, Lina Chen, Lulu Bai, Jianwu Tang*. Annexin A7 modulates BAG4 and BAG4-binding proteins in mitochondrial apoptosis. Biomed. Pharmacother., 2015, 74:30-34. (标注基金号81071725、30772468)

论文7: Bailong Li, Ying Lu, Honghai Wang, Xiaocui Han, Jun Mao, Jiazhi Li, Lihui Yu, Bo Wang, Shujun Fan, Xiaotang Yu, Bo Song*. miR-221/222 enhance the tumorigenicity of human breast cancer stem cells via modulation of PTEN/Akt pathway. Biomed. Pharmacother., 2016, 79:93-101. (标注基金号81172052)

论文8: Yunchao Xu#, Xu Liu#, Min Li, Yan Li, Chun-Yan Li, Ying Lu, Jaceline Sanches, Lu Wang, Yue Du, Li-Min Mao, Si-Bo Zuo, Hui-Ting Liu, Jie Shen, Bo Wang, Li Hou, Lian-Hong Li, Jian-Wu Tang, Jing-Fang Ju, Hong-Wei Guan*, Bo Song*. A Novel Mechanism of Doxorubicin Resistance and Tumorigenesis Mediated by MicroRNA-501-5p-Suppressed BLID. Mol. Ther. Nucleic. Acids, 2018, 12:578-590. (标注基金号81172052)

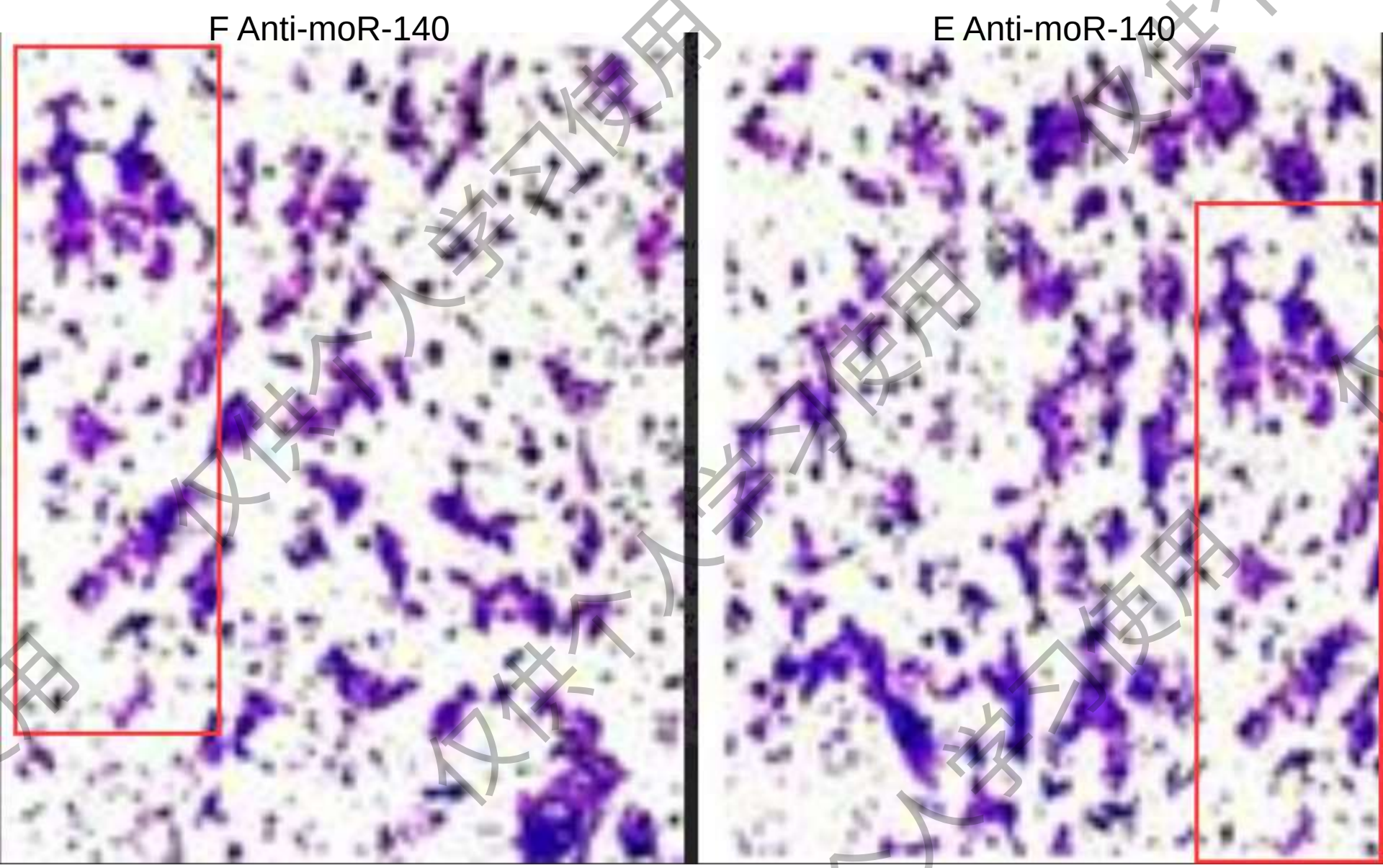

论文1: Lihui Yu#, Ying Lu#, Xiaocui Han, Wenyue Zhao, Jiazhi Li, Jun Mao, Bo Wang, Jie Shen, Shujun Fan, Lu Wang, Mei Wang, Lianhong Li, Jianwu Tang, Bo Song*. microRNA-140-5p inhibits colorectal cancer invasion and metastasis by targeting ADAMTS5 and IGFBP5. Stem Cell Res. Ther., 2016, 7(1):180. (标注基金号81172052)

C Hca-F

C F-Exo

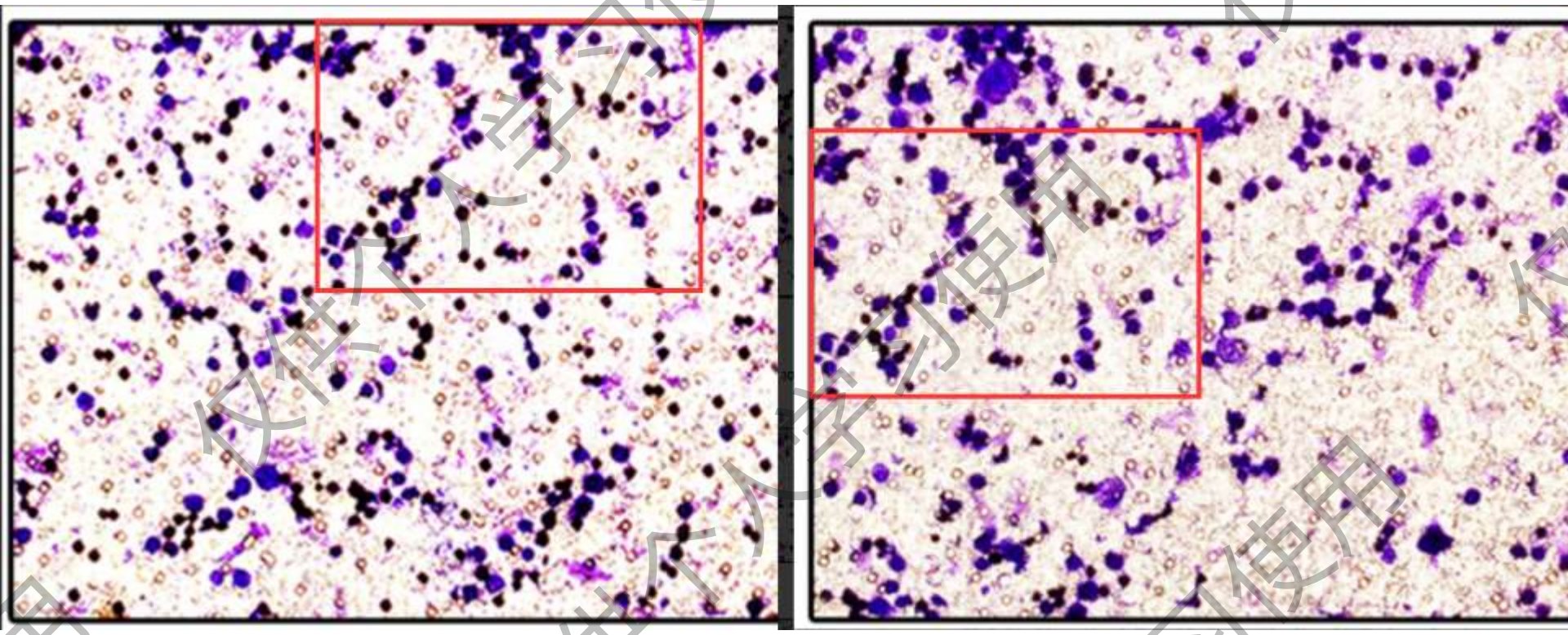

论文2: Min Li#, Ying Lu#, Yunchao Xu, Jingwen Wang, Chenghong Zhang, Yue Du, Lu Wang, Lianhong Li, Bo Wang, Jie Shen, Jianwu Tang*, Bo Song*. Horizontal transfer of exosomal CXCR4 promotes murine hepatocarcinoma cell migration, invasion and lymphangiogenesis. Gene, 2018, 676:101-109. (标注基金号81172052)

F 140i

E 140i

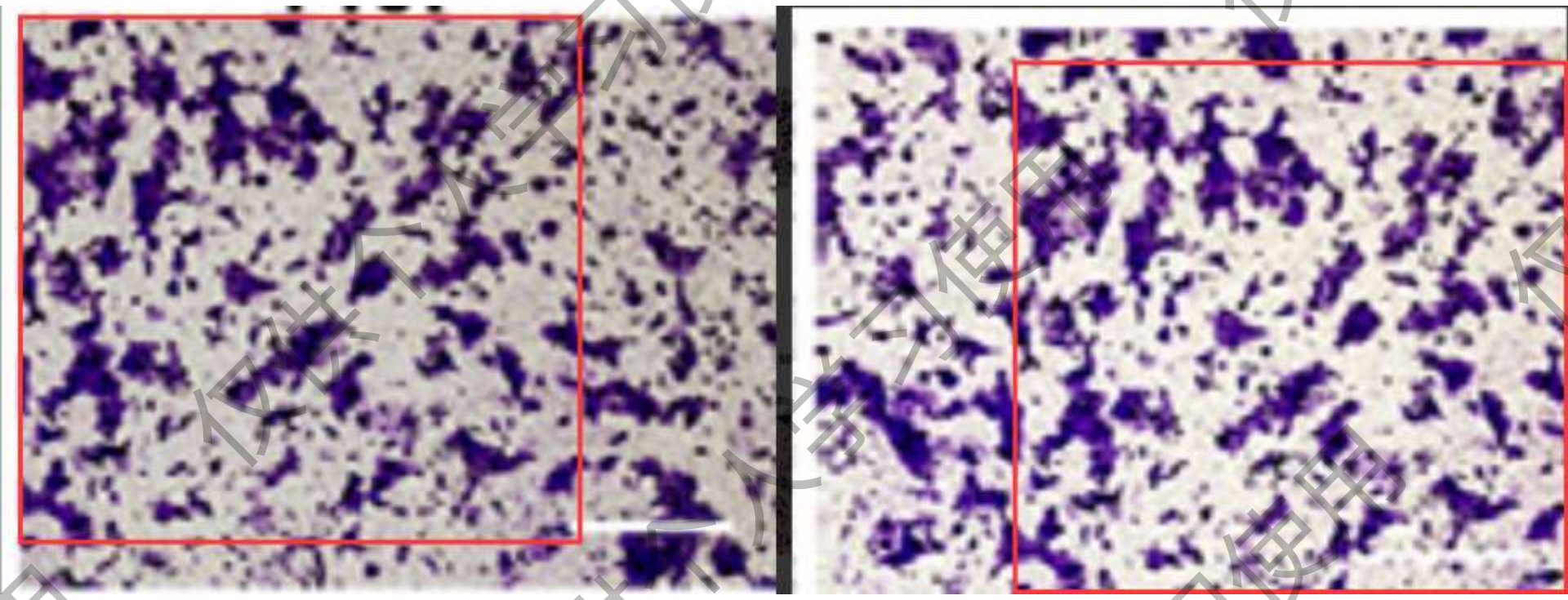

论文3: Jiazhi Li, Kun Zou, Lihui Yu, Wenyue Zhao, Ying Lu, Jun Mao, Bo Wang, Lu Wang, Shujun Fan, Bo Song*, Lianhong Li*. MicroRNA-140 Inhibits the Epithelial-Mesenchymal Transition and Metastasis in Colorectal Cancer. Mol. Ther. Nucleic. Acids, 2018, 10:426-437. (标注基金号81172052、81272430)

C MDA-MB-231-M miR-138

C MCF-7-M miR-138

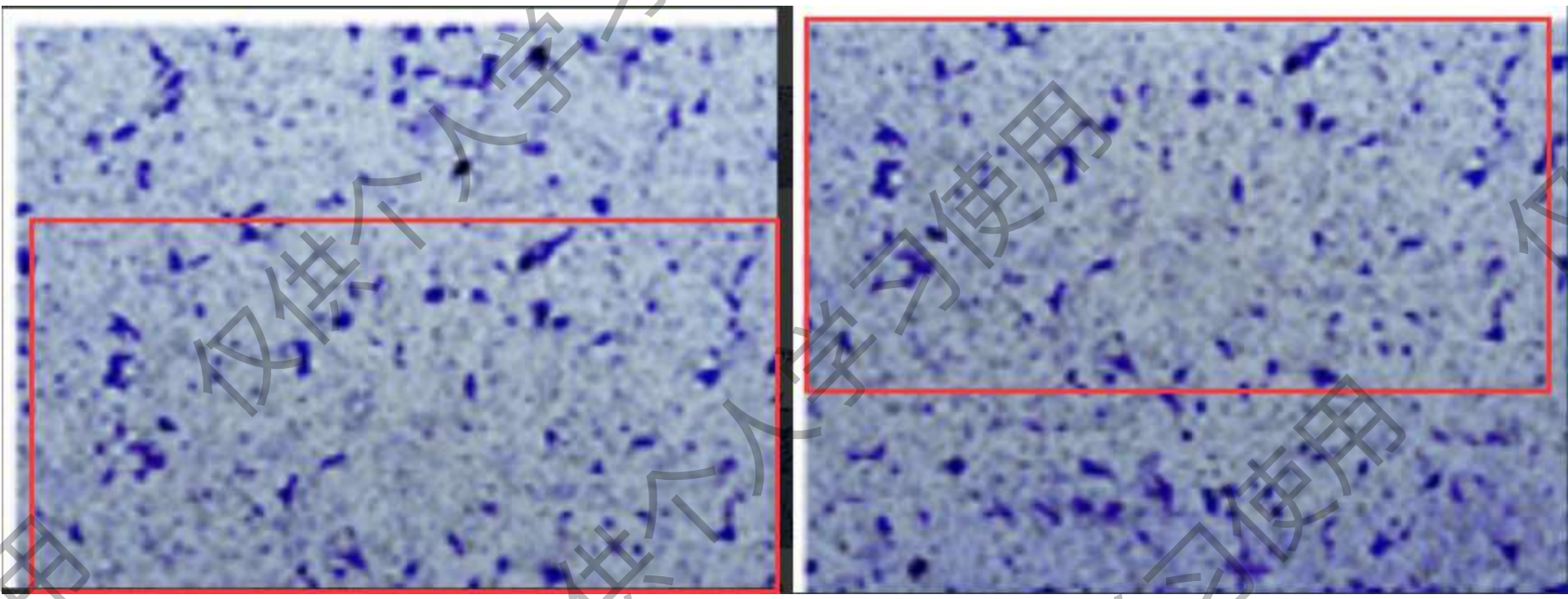

论文4: Jun Zhang, Dan Liu, Zhuo Feng, Jun Mao, Chunying Zhang, Ying Lu, Jiazhi Li, Qingqing Zhang, Qing Li, Lianhong Li*. MicroRNA-138 modulates metastasis and EMT in breast cancer cells by targeting vimentin. Biomed. Pharmacother., 2016, 77:135-41. (标注基金号81272430)

b Invasion & Notch1 siRNA

b Invasion miR-34a

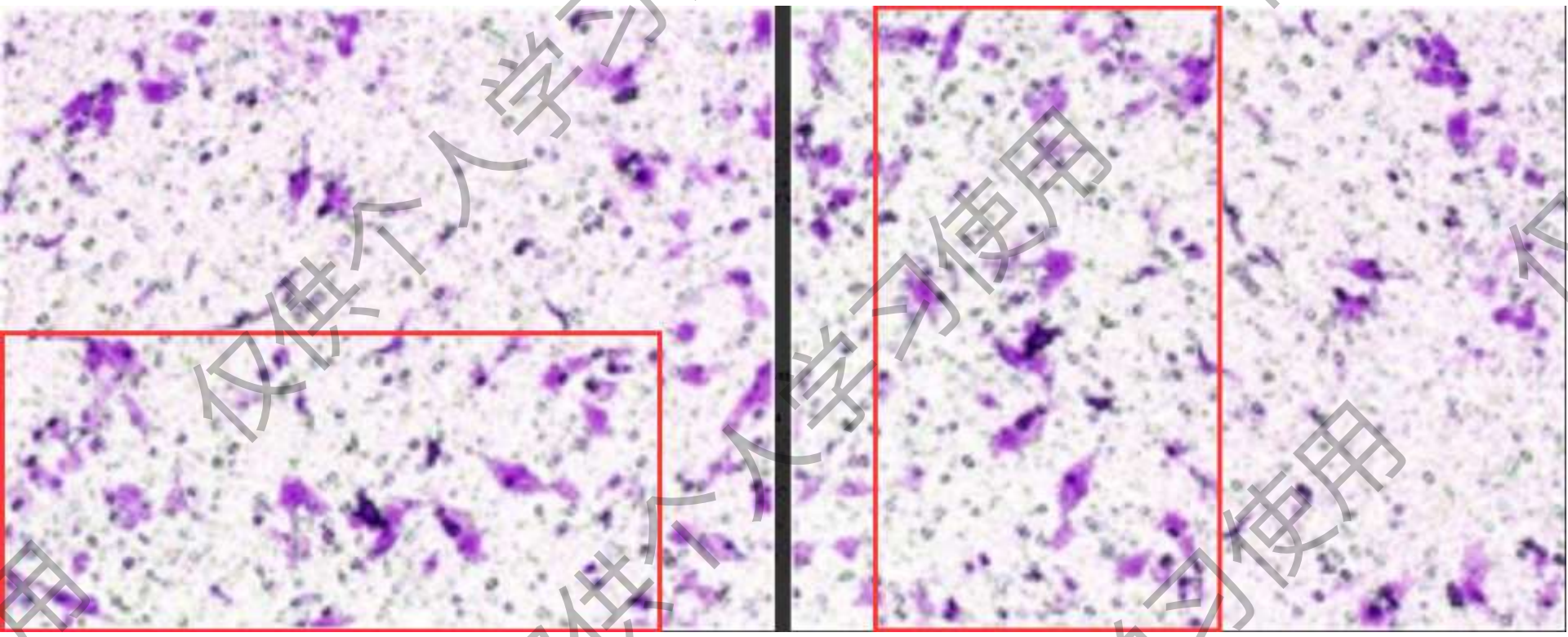

论文5: Le Kang, Jun Mao, Yajun Tao, Bo Song, Wei Ma, Ying Lu, Lijing Zhao, Jiazhi Li, Baoxue Yang*, Lianhong Li*. MicroRNA-34a suppresses the breast cancer stem cell-like characteristics by downregulating Notch1 pathway. Cancer Sci., 2015, 106(6):700-708. (标注基金号81272430、81170632)

A Pnc

A P

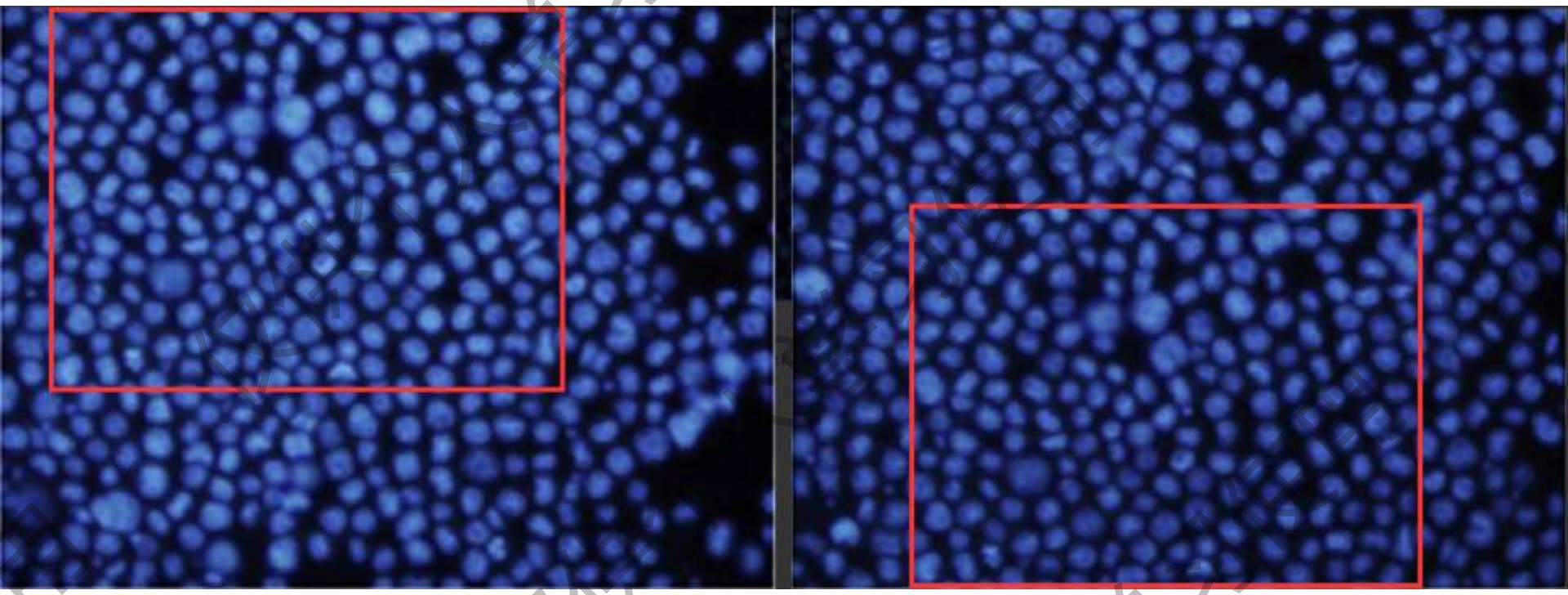

论文6: Yue Du#, Yuhong Huang#, Yue Gao, Bo Song, Jun Mao, Lina Chen, Lulu Bai, Jianwu Tang*. Annexin A7 modulates BAG4 and BAG4-binding proteins in mitochondrial apoptosis. Biomed. Pharmacother., 2015, 74:30-34. (标注基金号 81071725、30772468)

D 221 I+sl-PTEN

C Control

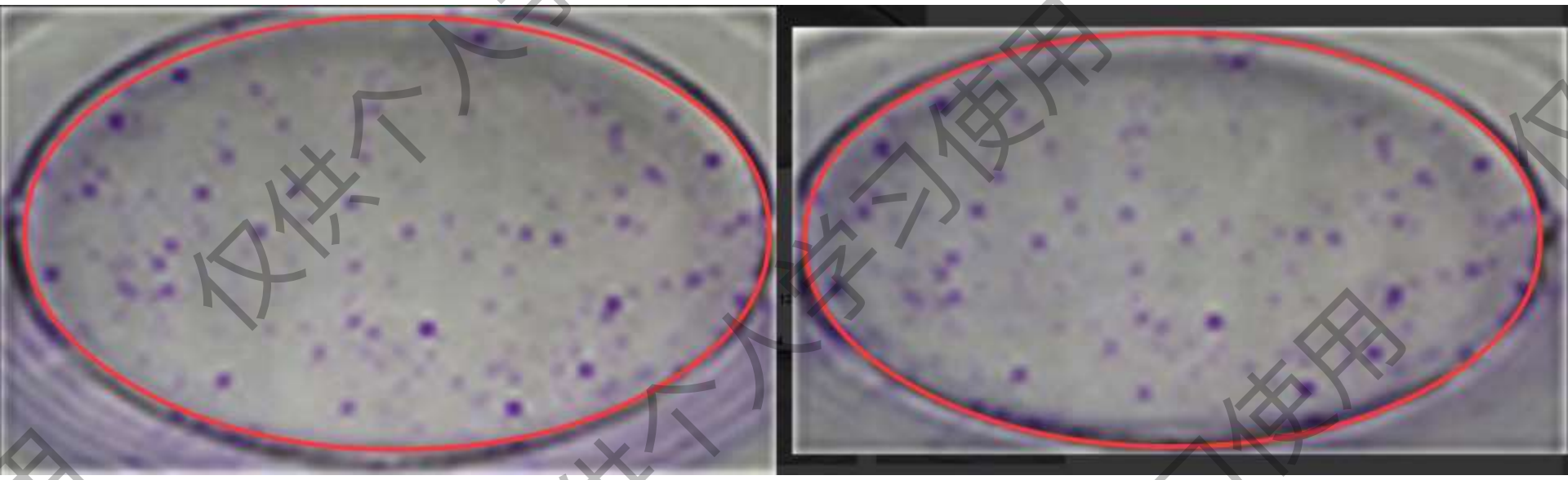

论文7: Bailong Li, Ying Lu, Honghai Wang, Xiaocui Han, Jun Mao, Jiazhi Li, Lihui Yu, Bo Wang, Shujun Fan, Xiaotang Yu, Bo Song*. miR-221/222 enhance the tumorigenicity of human breast cancer stem cells via modulation of PTEN/Akt pathway. Biomed. Pharmacother., 2016, 79:93-101. (标注基金号81172052)

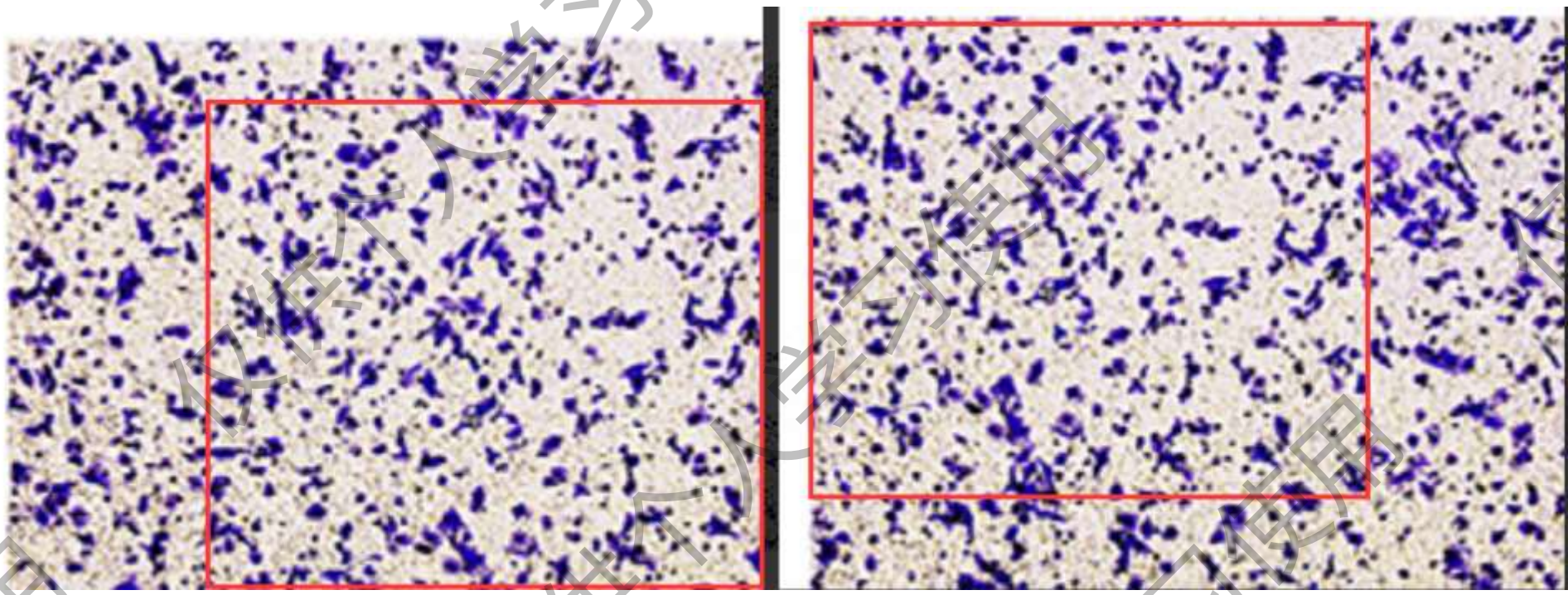

论文8: Yunchao Xu#, Xu Liu#, Min Li, Yan Li, Chun-Yan Li, Ying Lu, Jaceline Sanches, Lu Wang, Yue Du, Li-Min Mao, Si-Bo Zuo, Hui-Ting Liu, Jie Shen, Bo Wang, Li Hou, Lian-Hong Li, Jian-Wu Tang, Jing-Fang Ju, Hong-Wei Guan*, Bo Song*. A Novel Mechanism of Doxorubicin Resistance and Tumorigenesis Mediated by MicroRNA-501-5p-Suppressed BLID. Mol. Ther. Nucleic. Acids, 2018, 12:578-590. (标注基金号81172052)

《关于对巩威、薛一雪发表的论文存在图片使用混乱和擅自标注他人基金号等问题并在项目申请书/进展报告/结题报告中存在虚假信息处理结果的通报》

A Grade Ⅲ　　A Grade Ⅳ

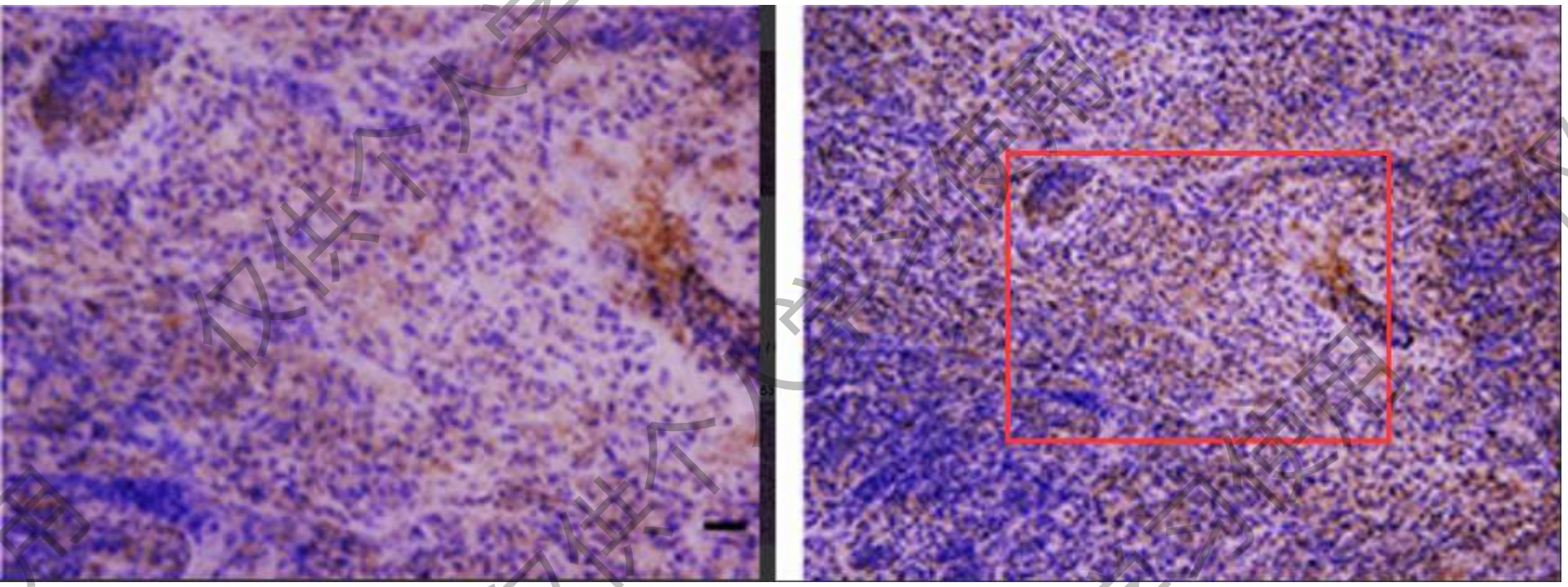

论文1：Wei Gong, Jian Zheng, Xiaobai Liu, Jun Ma, Yunhui Liu, Yixue Xue*. Knockdown of NEAT1 restrained the malignant progression of glioma stem cells by activating microRNA let-7e. Oncotarget. 2016, 7, 62208-62223.（标注基金号 81573010, 81372484,81272564）

E HOTAIR (–) NC & Occludin

G miR-148b-3p(-) & ZO-1

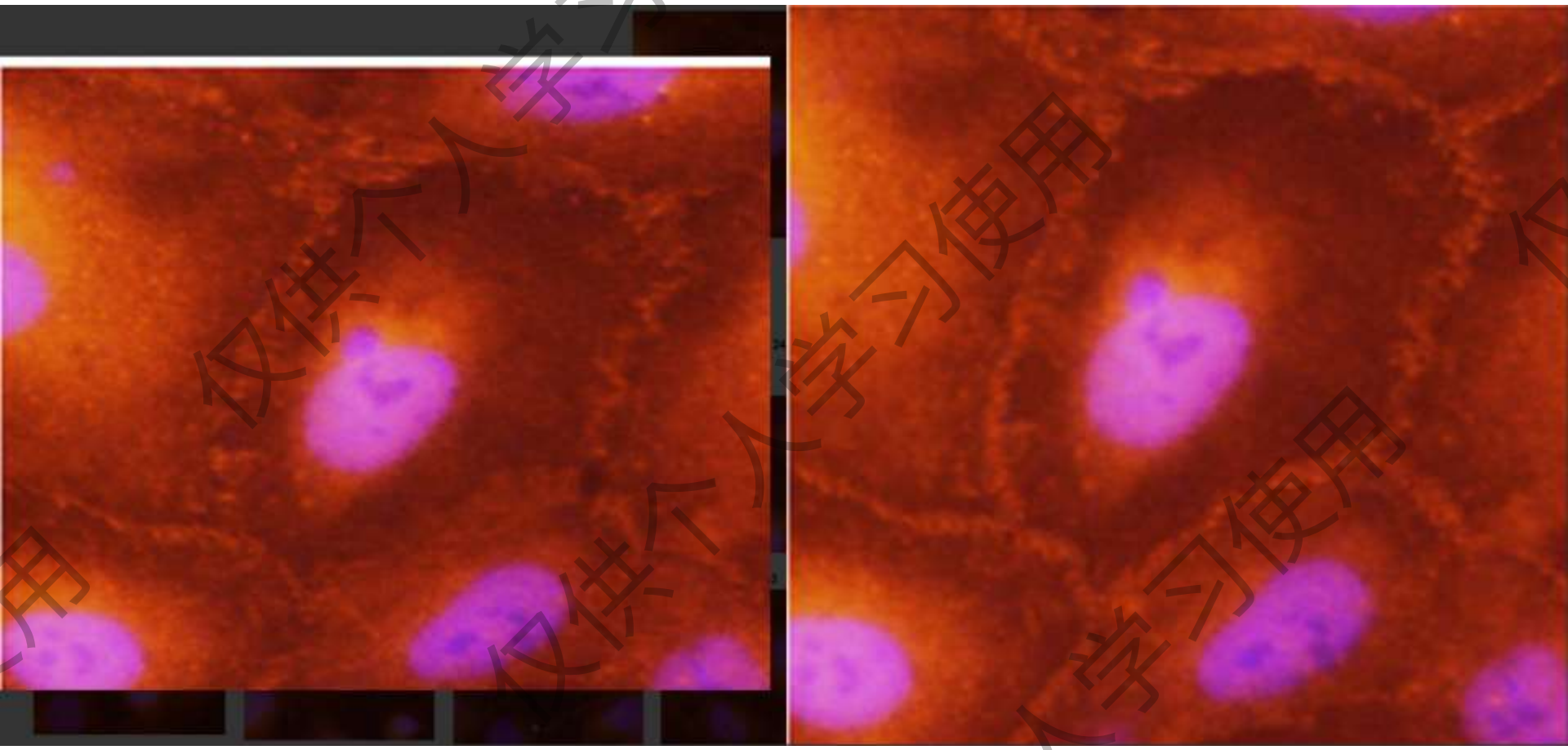

论文2：Libo Sa#, Yan Li#, Lini Zhao, Yunhui Liu, Ping Wang, Libo Liu, Zhen Li, Jun Ma, Heng Cai, Yixue Xue*. The Role of HOTAIR/miR-148b-3p/USF1 on Regulating the Permeability of BTB. Front. Mol. Neurosci. 2017, 10：194. （标注基金号 81573010, 81372484, 81672511）

本地PubMed检索平台及诺模图科研数据分析平台简介

六、诺模图之：战略情报


诺模图科研数据分析平台(测试版)
Nomogram scientific research data analysis platform
首页
相关期刊
相关检索词
相关机构
相关作者
战略情报分析，是为学科的负责人或研究人员，提供全局的、广泛的学科研究情报，包括全球范围内的研究机构、各研究机构的最新论文、研究热点、参与的临床指南、基金的赞助情况、最近的投稿期刊、机构的主要研究人员及研究方向等。
机构成果展示
展示该学科发表论文较多的机构列表，您可以点击查看单个机构，也可以勾选多个机构进行对比，包括发文量、被引量以及被国内外核心期刊库收录情况等。
选择科室：
病理科
所有科室
选择机构：
美国-安德森癌症中心
机构选择
选择某学科，对各机构进行对比，也可以查看或订阅指定的机构下指定的科室或学科的期刊发文
切换科室
意见反馈
指数筛选
分类筛选
机构对比
Mediastinal Nodal Involvement After Neoadjuvant Chemoradiation for Siewert II/III Adenocarcinoma.
Involution of Hepatocellular Neoplasm after Embolization of a Portosystemic Vascular Shunt in an Adult with Abernethy Type II Malformation.
选择科室：病理科，选择机构：美国-安德森癌症中心，指的是美国-安德森癌症中心病理科的工作人员所发表的论文。

[作者] Santos-Silva AR, Lopes MA, Pedroso CM, Ribeiro ACP, Fonseca FP, Brandão TB, Capelozza LAM, Rocha AC, Pires FR, Miranda ÂA, Júnior HM, Alves FA, Marcucci M, Lemos CA, Sugaya NN, Marcucci G, Carrard VC, Martins MD, Cardoso AS, Migliorati CA.

[来源] Oral Surg Oral Med Oral Pathol Oral Radiol. 2022 Jul;134(1):57-64. doi: 10.1016/j.oooo.2022.01.018. Epub 2022 Feb 2.

[摘要] This review outlines the historical perspective, status, and future challenges of **oral medicine (stomatology)** in Brazil based on the records of the Brazilian Society of **Stomatology** and **Oral** Pathology (SOBEP) and the Brazilian Federal Dental Coun ...

[PMID] 35331676

申请全文 CiteScore 期刊分区 参考文献 引证文献 查看摘要 全文链接 相似文献

查看更多 +

成果展示，可以按教育部学科，也可以按复旦大学医院排行榜中的42个科室的名称，展示的是来自全球的大学和医院。

教育部学科：口腔医学 成果展示

科室发文机构	科室发文期刊	科室发文作者
21903 家	7713 种	200637 人

中国-四川大学 4927	中国-四川大学华西口腔医院 3853	巴西-圣保罗大学 3390	英国-伦敦玛丽女王大学 1830
中国-北京大学口腔医院 2340	中国-中国人民解放军空军军医大学 1912	日本-冈山大学 1542	美国-密歇根大学 1567
中国-上海交通大学 1996	美国-罗切斯特大学 1301	加拿大-阿尔伯塔大学 1677	韩国-首尔大学 1608
韩国-延世大学 1593	中国-中山大学 1718	瑞士-伯尔尼大学 1328	巴西-圣保罗州立大学 1689

查看更多 +

因为平台收录的有北大核心期刊、统计源期刊、中国科学引文数据库、中华医学会期刊等论文，所以，相对的国内的机构得分要高一些。


诺模图科研数据分析平台(测试版)
Nomogram scientific research data analysis platform
首页
相关期刊
相关检索词
相关机构
相关作者
指定学科
选择科室：
1003|口腔医学
机构论文详情页
美国-密歇根大学
加入对比 +
查看该单位所有成果
也可以切换为，查看该单位所有论文
基础信息
1567
总发文量
25971
总被引量
431
基金
1
国自然基金
核心期刊收录
0
北大核心
4
中国科技论文统计源
6
中国科学引文数据库
1398
CiteScore
1534
Pubmed
0
中华医学会
中科院
275
一区
433
二区
354
三区
319
四区
切换科室
意见反馈
分项查看该机构研究的关键词以及学科的中科院类别等
合作单位
作者
中文关键词
英文关键词
中科院大类
中科院小类
科室
查看前10条
查看前20条
查看全部
说明：
本系统已对各发文机构作了规范，但因各种原因，正确率应该不大于98%，仅供参考。

retrieval.yuntsg.com/article/authorhome.html?id=55406283&author=郭涛

欢迎您 贾新志 | 管理员后台 | 退出登录

作者发文详情页

云图书馆 | 万方EBOOK | 个人中心 | 本地PubMed | 循证医学 | 投稿指南

统一检索平台

说明：本系统已对各作者作了同名同姓处理，但因各种原因，正确率应该不高于95%，仅供参考。

> " Guo Tao(郭涛) " 的主页

学者 Guo Tao(郭涛) + 学者对比

[0/5] 对比框

对比

清空对比

基础信息 该学者总发文量8篇，总被引量达到1577篇，以第一作者和通讯作者发文各一篇，参与基金赞助的论文2篇

总发文量	总被引量	第一作者发文量	通讯作者发文量	基金	国家
8	1577	1	1	2	0

核心期刊收录 该学者的论文主要被PubMed收录

北大核心	中国科技论文统计源	中国科学引文数据库	CiteScore	PubMed	中华医学会
0	2	0	6	6	0

中科院发文 所发的8篇论文，中科院一区3篇，三区2篇，四区1篇，主要为一区

一区	二区	三区	四区
3	0	2	1

词云，即主要的研究点

词云

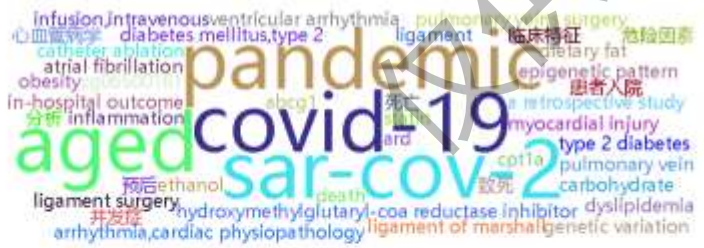

该学者的发文量、被引量以及年份

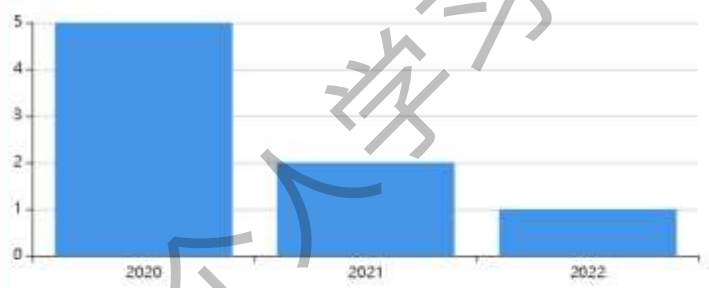

中科院大类 | 中科院小类 | 中文关键词 | 英文关键词 | 科室

发文的中科院分类以及主要的关键词

pandemic 26337.2625

coronavirus infection 26337.2625

pneumonia,viral therapy 26302.3418

cardiovascular diseas... 26302.3418

查看前10条


诺模图科研数据分析平台(测试版)
Nomogram scientific research data analysis platform
首页
相关期刊
相关检索词
相关机构
相关作者
相关机构，指的是对所选的学科，以中科院期刊分区表作为标准，展示在该学科发表论文得分累加值较高的部分机构，机构排名不分先后。
相关机构
以中科院期刊分区表作为标准，展示在该学科发表论文得分累加值较高的部分机构，您可以勾选一个，也可以勾选多个，系统将根据您的勾选进行数据分析。
选择科室：
1003|口腔医学
选择教育部的口腔医学专业，指的是高校的口腔学院或医院的口腔科的发文
可以选择指定的一个单位，也可以选择多个
相关机构
+添加机构
中国-四川大学
中国-四川大学华西口腔医院
巴西-圣保罗大学
英国-伦敦玛丽女王大学
中国-北京大学口腔医院
中国-中国人民解放军空军军医大学
日本-岡山大学
英国-思克莱大学
中国-上海交通大学
英国-罗伯斯特大学
加拿大-阿尔伯塔大学
韩国-首尔大学
韩国-延世大学
巴西-圣保罗州立大学
中国-上海交通大学医学院附属第九人民医院
日本-新潟大学
澳大利亚-墨尔本大学
巴西-坎皮纳斯州立大学
中国-台北医学大学
中国-南京医科大学
中国-首都医科大学
发文量
引用量
2013
2014
2015
2016
2017
2018
2019
2020
2021
2022
2023
数据分析项包括：1.发文量、2.引用量、3.最新论文、4.临床指南、5.研究热点、6.主要基金、7.主要单位、8.重点作者、9.新词发现、10.期刊分布等。
最新论文
Tumor Microenvironment-Adaptive Nanoplatform Synergistically Enhances Cascaded Chemodynamic Therapy
Selenium-decorated biocompatible honeycomb films with redox-switchable surface for controlling cell adhesion/detachment
Gut microbiota and its roles in the pathogenesis and therapy of endocrine system diseases
Ferula sinkiangensis extract inhibits osteoclastic differentiation in vitro
Antibacterial Collagen-based Nanocomposite Dressings for Promoting Infected Wound Healing
Epigenetic regulation of embryonic ectoderm development in stem cell differentiation and transformation during ontogenesis
Nucleic Acid Nanomaterials-based Therapy for Osteoarthritis: Progress and Prospects
The mechanical properties, tribological behaviors and color stability of a hydroxyapatite nanoceramics strengthening extrinsic stain for high-...
累加得分依据：论文所在的期刊，被中科院期刊分区表收录，按一区1分，二区0.5分，三区0.33分，四区0.25分，未被中科院期刊分区表收录，但被北大核心或统计源核心或中国科学引文或medline收录，则按0.125分，均未收录则忽略。目前，只统计2013年以来的论文。
临床指南
2022年 (6)
Expert consensus on early childhood caries management
Difficult and complicated oral ulcerations: an expert consensus guideline for diagnosis
学科归属说明：
比如，作者署名四川大学，华西口腔医院，则分别归属到四川大学和华西口腔医院，若作者仅署名华西口腔医院，则只归属到华西口腔医院。


研究热点
中文
英文
设置
论文的简均满分 0.09
论文的累加满分 0.09
论文的增长率满分 0.12
引文的简均满分 0.06
引文的累加满分 0.06
引文的增长率满分 0.08
参文的简均满分 0.03
参文的累加满分 0.03
参文的增长率满分 0.04
单位的简均满分 0.06
单位的累加满分 0.06
单位的增长率满分 0.08
基金的简均满分 0.03
基金的累加满分 0.03
基金的增长率满分 0.04
影响因子的简均满分 0.03
影响因子的累加满分 0.03
影响因子的增长率满分 0.04
分析年限 10
增长率的计算年数 3
等级 10
次序系统的等级 10
返回结果数量 20
多单位时，选择得分最高的那个单位
多单位时，选择得分最高的那个基金
研究热点的计算方法：
期刊分区、引文、参文、单位、基金、影响因子等。
保存
取消
(0.44) che yao
(0.44) luo zu
(0.44) xue quan
(0.44) sun niu
(0.44) yi cao
(0.4) van suyden robert j
权重满分为1，个人可以根据需要进行修改。
切换科室
意见反馈

本地PubMed检索平台及诺模图科研数据分析平台简介

七、校外使用及账号注册说明


智慧云图书馆
首页
产品合集
新闻动态
联系我们
关于我们
使用指南
在校园网的IP内使用时，可以直接显示单位的名称，但若需要在校园外使用，或者使用一些个性化的功能时，需要注册个人的账号。
精琢于品质，专注于技术
本地PubMed
一站式检索
中文核心
外文核心
进入检索
https://www.tsgyun.com/
产品合集
本地PubMed
投稿指南
一站式检索
循证医学
资源门户
移动图书馆APP


用户注册
1
2
注册单位：哈尔滨医科大学
读者您好，当前单位名称是由IP地址自动识别获取，如果对所属单位有异议
可联系本单位图书馆相关老师反馈情况
或是直接联系我们，服务热线400-6099117
请输入手机号
免费获取手机验证码
请输入短信验证码
请输入邮箱
请输入工号/学号
请输入真实姓名
创建密码
中
强
输入密码
请输入计算结果
注 册
根据提示，请认真填写，后续有审核。

谢谢大家！Good Luck！

欢迎批评指正！！

贾新志
上海骥灏网络股份有限公司
jiawork8848@163.com